

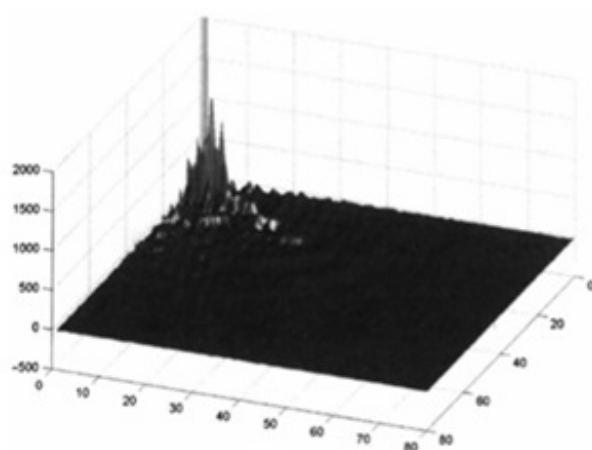
## 第6章 变换编码

### 1. 变换编码

- 变换编码的目的
  - 去除空间信号的相关性
  - 将空间信号的能量集中到频域的一小部分低频系数上
  - 能量小的系数可通过量化去除，而不会严重影响重构图像的质量
- 块变换和全局变换
  - 块变换：离散余弦变换(Discrete Cosine Transform, DCT), 4x4, 8x8, 16x16
  - 全局变换：小波变换(Wavelet)
- 变换的能量集中特性
  - DCT编码



原始图像



变换系数分布

### 2. 变换类型

- K-L变换
- 傅里叶变换
- 余弦变换
- 小波变换

### 3. KL变换

- 最优变换
- 基函数根据具体图像而确定
- 没有快速算法

- 实际中很少使用
  - 复杂度极高

- 给定N维随机变量:  $\vec{x} = \begin{bmatrix} x_1 \\ x_2 \\ \vdots \\ x_N \end{bmatrix}, \vec{x} \in R^n$

- 向量  $\vec{x}$  包含了N个随机变量, 每个随机变量的数学期望表示为:  $m_{\vec{x}} = E(\vec{x}) = (m_1, \dots, m_i, \dots, m_N)^T$
- 其中  $m_i = E(x_i) \quad i = 1, 2, \dots, N$
- 利用向量  $\vec{x}$  的数学期望, 可以得到  $\vec{x}$  向量的协方差矩阵

$$U = E((\vec{x} - m_{\vec{x}})(\vec{x} - m_{\vec{x}})^T)$$

- 协方差矩阵  $U$  的特征向量  $\phi_k$  对应着其第  $k$  个特征值  $\lambda_k$ , 则有  $U\phi_k = \lambda_k \phi_k \quad (k = 0, \dots, N-1)$
- $U$  是对称矩阵, 所以其特征向量  $\phi_k$  是正交的, 即满足:

$$\phi_k^T \phi_l \begin{cases} = 0, (k \neq l) \\ \neq 0, (k = l) \end{cases}$$

- 归一化可以得到单位正交矩阵  $\Phi = (\phi_0, \phi_1, \dots, \phi_{N-1})$ , 使其满足  $\Phi^T \Phi = I$ , 则N个特征向量可以联合起来表示为:

$$U\Phi = (\lambda_0 \phi_0, \lambda_1 \phi_1, \dots, \lambda_{N-1} \phi_{N-1})$$

- 由于  $\Phi$  是正交阵, 因此在上式的两边分别左乘  $\Phi^T$  可以得到  $\Phi^T U \Phi = \Lambda$  其中  $\Lambda = \text{diag}(\lambda_0, \dots, \lambda_{N-1})$
- 给定一维随机向量  $X$ , 可以定义  $X$  的K-L变换为:

$$\begin{bmatrix} y_1 \\ y_2 \\ \vdots \\ y_n \end{bmatrix} = \Phi^T \begin{bmatrix} x_1 \\ x_2 \\ \vdots \\ x_n \end{bmatrix}$$

- 即  $Y = \Phi^T X$ , K-L变换就是将  $X$  的所有分量投影在  $\phi_k$  得到频域映射  $y_k$ .  $\Phi^T$  是K-L变换矩阵, 显然它随着随机向量  $\vec{x}$  中每个成分的变化而改变。

- 变换后向量Y的均值为  $m_{\bar{y}} = E(\bar{y}) = E(\Phi^T X) = \Phi^T E(X) = \Phi^T m_{\bar{x}}$

- Y的协方差矩阵为

$$\begin{aligned}
 E((\bar{y} - m_{\bar{y}})(\bar{y} - m_{\bar{y}})^T) &= E((\Phi^T \bar{x} - m_{\bar{y}})(\Phi^T \bar{x} - m_{\bar{y}})^T) \\
 &= E((\Phi^T \bar{x} - \Phi^T m_{\bar{x}})(\Phi^T \bar{x} - \Phi^T m_{\bar{x}})^T) \\
 &= E(\Phi^T (\bar{x} - m_{\bar{x}})(\bar{x} - m_{\bar{x}})^T \Phi) = \Phi^T E((\bar{x} - m_{\bar{x}})(\bar{x} - m_{\bar{x}})^T) \Phi \\
 &= \Phi^T U \Phi = \begin{pmatrix} \phi_0^T \\ \phi_1^T \\ \vdots \\ \phi_{N-1}^T \end{pmatrix} U(\phi_0, \phi_1, \dots, \phi_{N-1}) = \begin{pmatrix} \phi_0^T \\ \phi_1^T \\ \vdots \\ \phi_{N-1}^T \end{pmatrix} (U\phi_0, U\phi_1, \dots, U\phi_{N-1}) \\
 &= \begin{pmatrix} \phi_0^T \\ \phi_1^T \\ \vdots \\ \phi_{N-1}^T \end{pmatrix} (U\phi_0, U\phi_1, \dots, U\phi_{N-1}) = \begin{pmatrix} \phi_0^T \\ \phi_1^T \\ \vdots \\ \phi_{N-1}^T \end{pmatrix} (\lambda_0 \phi_0, \lambda_1 \phi_1, \dots, \lambda_{N-1} \phi_{N-1}) = \begin{bmatrix} \lambda_0 & 0 & \dots & 0 \\ 0 & \lambda_1 & \dots & 0 \\ \vdots & \vdots & \ddots & \vdots \\ 0 & 0 & 0 & \lambda_{N-1} \end{bmatrix}
 \end{aligned}$$

- Y向量协方差矩阵是一个对角阵，说明Y向量之间的相关性最小，而X向量协方差矩阵非对角元素不为零，说明X向量有较强的相关性。
- 由于  $\Phi = (\Phi^T)^{-1}$ ，在K-L变换两边分别乘以  $\Phi$  可以得到X，即  $\Phi Y = \Phi \Phi^T X$  这就是K-L反变换。

- K-L变换非常复杂度很高，不实用

- 需要计算协方差矩阵U
- 需要计算特征向量
- 需要发送 到解码器

#### 4. 离散傅立叶变换

- 一维离散傅里叶变换:

$$F(u) = \frac{1}{N} \sum_{n=0}^{N-1} f(n) e^{-j \frac{2\pi n u}{N}} = \frac{1}{N} \sum_{n=0}^{N-1} f(n) W_N^{nu}, u=0, \dots, N-1$$

- 一维反离散傅里叶变换:

$$f(n) = \sum_{u=0}^{N-1} F(u) e^{j \frac{2\pi n u}{N}} = \sum_{u=0}^{N-1} F(u) W_N^{-nu}, u=0, \dots, N-1$$

- 二维离散傅里叶变换:

$$\begin{aligned} F(u, v) &= \frac{1}{NM} \sum_{n=0}^{N-1} \sum_{m=0}^{M-1} f(n, m) e^{-j 2\pi (\frac{nu}{N} + \frac{mv}{M})} \\ &= \frac{1}{NM} \sum_{n=0}^{N-1} \sum_{m=0}^{M-1} f(n, m) W_{NM}^{\frac{nu}{N} + \frac{mv}{M}}, u=0, \dots, N-1, v=0, \dots, M-1 \end{aligned}$$

- 二维反离散傅里叶变换:

$$\begin{aligned} f(n, m) &= \sum_{u=0}^{N-1} \sum_{v=0}^{M-1} F(u, v) e^{-j 2\pi (\frac{nu}{N} + \frac{mv}{M})} \\ &= \sum_{u=0}^{N-1} \sum_{v=0}^{M-1} F(u, v) W_{NM}^{-(\frac{nu}{N} + \frac{mv}{M})}, u=0, \dots, N-1, v=0, \dots, M-1 \end{aligned}$$

## 5. 离散傅立叶变换性质

- 线性:  $DFT[af_1(n) + bf_2(n)] = aF_1(k) + bF_2(k)$
- 平移行:
  - 时间平移  $f(n-k) \Leftrightarrow F(u) \cdot W^{ku}$
  - 频率平移  $f(n) \cdot W^{-kn} \Leftrightarrow F(n-k)$
- 周期性:  $f(n \pm rN) = f(n)$
- 奇偶性:
  - 实部是偶函数  $f_e(n) = f_e(-n)$
  - 虚部是奇函数  $f_o(n) = -f_o(-n)$

- 正交性:
- $W_N$  可以表示为矩阵形式

$$W_N = [W^{mu}] = \begin{bmatrix} W^{00} & W^{01} & W^{02} & \dots & W^{0(N-1)} \\ W^{10} & W^{11} & W^{12} & \dots & W^{1(N-1)} \\ W^{20} & W^{21} & W^{22} & \dots & W^{2(N-1)} \\ \vdots & \vdots & \vdots & \vdots & \vdots \\ W^{(N-1)0} & W^{(N-1)1} & W^{(N-1)2} & \dots & W^{(N-1)(N-1)} \end{bmatrix}$$

$$W_N^T W_N = \sum_{u=0}^{N-1} W^{mu} W^{-nu} = \sum_{u=0}^{N-1} W^{(m-n)u} = \begin{cases} N & m = n \\ 0 & m \neq n \end{cases}$$

## 6. 离散余弦变换

- 比K-L变换，傅里叶变换的复杂度更低
- 变换性能仅次于K-L变换
- 有快速算法可以加快变换速度
- 可以用整数变换进一步降低复杂度

### ● DCT的类型:

- DCT-I:  $F(u) = \frac{1}{2}(f(0) + (-1)^u f(N-1)) + \sum_{n=1}^{N-2} f(n) \cos \frac{nu\pi}{N-1}, u = 0, \dots, N-1$
- DCT-II:  $F(u) = \sum_{n=0}^{N-1} f(n) \cos \frac{(2n+1)u\pi}{2N}, u = 0, \dots, N-1$
- DCT-III:  $F(u) = \frac{1}{2}f(0) + \sum_{n=1}^{N-1} f(n) \cos \frac{n(2u+1)\pi}{2N}, u = 0, \dots, N-1$
- DCT-IV:  $F(u) = \sum_{n=0}^{N-1} f(n) \cos \frac{(2n+1)(2u+1)\pi}{2N}, u = 0, \dots, N-1$

- 视频编码标准中长采用DCT-II

- DCT的反变换为:

$$f(n) = \sum_{u=0}^{N-1} c(u) F(u) \cos \frac{(2n+1)u\pi}{2N}, n = 0, \dots, N-1 \quad c(u) = \begin{cases} 1/\sqrt{2} & u = 0 \\ 1 & \text{其它} \end{cases}$$

- N点1-D DCT/IDCT的模(Norm)为 $\sqrt{\frac{N}{2}}$ , 则归一化的1-D DCT/IDCT为:

$$F(u) = \sqrt{\frac{2}{N}} c(u) \sum_{n=0}^{N-1} f(n) \cos \frac{(2n+1)u\pi}{2N}, u = 0, \dots, N-1$$

$$f(n) = \sqrt{\frac{2}{N}} \sum_{u=0}^{N-1} c(u) F(u) \cos \frac{(2n+1)u\pi}{2N}, n = 0, \dots, N-1$$

- 常用的离散余弦变换为8点DCT

- JPEG, MPEG-2, MPEG-4

$$F(u) = \frac{c(u)}{2} \sum_{n=0}^7 f(n) \cos \frac{(2n+1)u\pi}{16}, u = 0, \dots, 7$$

$$f(n) = \sum_{u=0}^7 \frac{c(u)}{2} F(u) \cos \frac{(2n+1)u\pi}{16}, n = 0, \dots, 7$$

- DCT的变换核可以用矩阵形式表示为:

$$C_8 = \frac{1}{\sqrt{8}} \begin{bmatrix} 1 & 1 & 1 & \dots & 1 \\ \sqrt{2} \cos \frac{\pi}{16} & \sqrt{2} \cos \frac{3\pi}{16} & \sqrt{2} \cos \frac{5\pi}{16} & \dots & \sqrt{2} \cos \frac{15\pi}{16} \\ \vdots & \vdots & \vdots & \vdots & \vdots \\ \sqrt{2} \cos \frac{7\pi}{16} & \sqrt{2} \cos \frac{21\pi}{16} & \sqrt{2} \cos \frac{35\pi}{16} & \dots & \sqrt{2} \cos \frac{105\pi}{16} \end{bmatrix}$$


---

- 2-D DCT

$$F(u, v) = \frac{2}{N} c(u) c(v) \sum_{n=0}^{N-1} \sum_{m=0}^{M-1} f(n, m) \cos \frac{(2n+1)u\pi}{2N} \cos \frac{(2m+1)v\pi}{2M}, u=0, \dots, N-1, v=0, \dots, M-1$$

- 2-D IDCT

$$f(n, m) = \frac{2}{N} \sum_{u=0}^{N-1} \sum_{v=0}^{M-1} c(u) c(v) F(u, v) \cos \frac{(2n+1)u\pi}{2N} \cos \frac{(2m+1)v\pi}{2M}, n=0, \dots, N-1, m=0, \dots, M-1$$

- 8点2-D DCT

$$F(u, v) = \frac{c(u)}{2} \frac{c(v)}{2} \sum_{n=0}^7 \sum_{m=0}^7 f(n, m) \cos \frac{(2n+1)u\pi}{16} \cos \frac{(2m+1)v\pi}{16}, u, v=0, \dots, 7$$

- 8点2-D IDCT

$$f(n, m) = \sum_{u=0}^7 \frac{c(u)}{2} \sum_{v=0}^7 \frac{c(v)}{2} F(u, v) \cos \frac{(2n+1)u\pi}{16} \cos \frac{(2m+1)v\pi}{16}, n, m=0, \dots, 7$$

## 7. DCT与DFT的关系

- 将 $f(n)$  ( $0 \leq n \leq N$ )拓展成 $2N$ 点DFT输入 $f_{2N}(n)$ , 即

$$f_{2N}(n) = \begin{cases} f(n) & (0 \leq n \leq N-1) \\ 0 & (N \leq n \leq 2N-1) \end{cases}$$

求 $f_{2N}(n)$ 的 $2N$ 点DFT

- 右项缩放 $e^{-j\pi \frac{\mu}{2N}}$  得到 $F_{2N}(u) = \sum_{n=0}^{2N-1} f_{2N}(n) e^{-j2\pi \frac{\mu n}{2N}}, u=0, \dots, 2N-1$

$$\begin{aligned} F_{2N}(u) &= e^{-j\pi \frac{\mu}{2N}} \cdot \sum_{n=0}^{2N-1} f_{2N}(n) e^{-j2\pi \frac{\mu n}{2N}} = \sum_{n=0}^{2N-1} f_{2N}(n) e^{-j\pi \frac{\mu(2n+1)}{2N}} \\ &= \sum_{n=0}^{2N-1} f_{2N}(n) \left( \cos\left(\frac{u\pi(2n+1)}{2N}\right) - j \sin\left(\frac{u\pi(2n+1)}{2N}\right) \right), u=0, \dots, 2N-1 \end{aligned}$$

- 取实部 $\text{Re}(F_{2N}(u))$ 可以得到

$$\text{Re}(F_{2N}(u)) = \sum_{n=0}^{2N-1} f_{2N}(n) \cos\left(\frac{u\pi(2n+1)}{2N}\right) = \sum_{n=0}^{N-1} f(n) \cos\left(\frac{u\pi(2n+1)}{2N}\right)$$

## 8. 离散余弦变换的重要性质

- 二维离散余弦变换的可分离性：

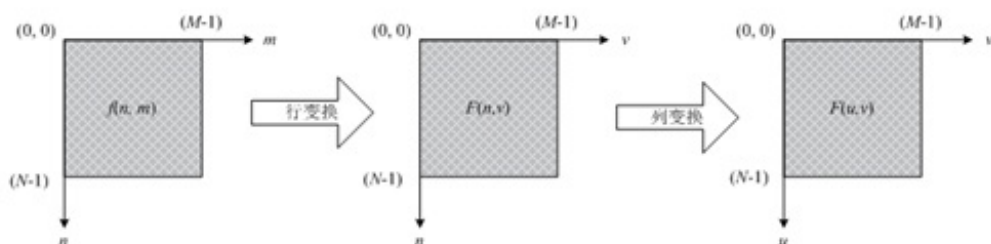
- 二维函数  $f(n, m)$  的一维离散余弦变换为：

$$F(n, v) = \sum_{m=0}^{M-1} f(n, m) \cos \frac{(2m+1)v\pi}{2M}, v = 0, \dots, M-1$$

- 对  $F(n, v)$  的一维离散余弦变换为：

$$F(u, v) = \frac{2}{N} c(u)c(v) \sum_{n=0}^{N-1} F(n, v) \cos \frac{(2n+1)u\pi}{2N}, u = 0, \dots, N-1, v = 0, \dots, M-1$$

$$F = [(Tf)T^T] = TfT^T$$



- 对称（反对称）性：

$$\begin{aligned} \cos \frac{(2(N-1-n)+1)u\pi}{2N} &= \cos \frac{((2N-2-2n)+1)u\pi}{2N} = \cos \left( u\pi - \frac{(2n+1)u\pi}{2N} \right) \\ &= \pm \cos \frac{(2n+1)u\pi}{2N} \end{aligned}$$

$$\cos \frac{13\pi}{16} = -\cos \frac{3\pi}{16}, \quad N=8, n=1, u=1$$

$$\cos \frac{22\pi}{16} = \cos \frac{10\pi}{16}, \quad N=8, n=2, u=2$$

$$\cos \frac{45\pi}{16} = -\cos \frac{3\pi}{16}, \quad N=8, n=0, u=3$$

$$\cos \frac{36\pi}{16} = \cos \frac{28\pi}{16}, \quad N=8, n=3, u=4$$

$$\cos \frac{65\pi}{16} = -\cos \frac{15\pi}{16}, \quad N=8, n=1, u=5$$

$$\cos \frac{42\pi}{16} = \cos \frac{54\pi}{16}, \quad N=8, n=4, u=6$$

$$\cos \frac{105\pi}{16} = -\cos \frac{7\pi}{16}, \quad N=8, n=0, u=7$$

$$\cos \frac{40\pi}{16} = \cos \frac{88\pi}{16}, \quad N=8, n=5, u=8$$



- 正交性:  $C^T C = I$

$$C_8 = \frac{1}{\sqrt{8}} \begin{bmatrix} 1 & 1 & 1 & \dots & 1 \\ \sqrt{2} \cos \frac{\pi}{16} & \sqrt{2} \cos \frac{3\pi}{16} & \sqrt{2} \cos \frac{5\pi}{16} & \dots & \sqrt{2} \cos \frac{15\pi}{16} \\ \vdots & \vdots & \vdots & \ddots & \vdots \\ \sqrt{2} \cos \frac{7\pi}{16} & \sqrt{2} \cos \frac{21\pi}{16} & \sqrt{2} \cos \frac{35\pi}{16} & \dots & \sqrt{2} \cos \frac{105\pi}{16} \end{bmatrix}$$

- 三角函数公式:

$$\begin{aligned} \sin(-a) &= -\sin(a) & \cos(-a) &= \cos(a) \\ \cos(\pi - a) &= -\cos(a) & \sin(\pi - a) &= \sin(a) \\ \cos(\pi + a) &= -\cos(a) & \sin(\pi + a) &= -\sin(a) \\ \cos(\pi/2 - a) &= \sin(a) & \sin(\pi/2 - a) &= \cos(a) \\ \cos(\pi/2 + a) &= -\sin(a) & \sin(\pi/2 + a) &= \cos(a) \\ \sin(a + b) &= \sin(a)\cos(b) + \cos(a)\sin(b) \\ \sin(a - b) &= \sin(a)\cos(b) - \cos(a)\sin(b) \\ \cos(a + b) &= \cos(a)\cos(b) - \sin(a)\sin(b) \\ \cos(a - b) &= \cos(a)\cos(b) + \sin(a)\sin(b) \end{aligned}$$

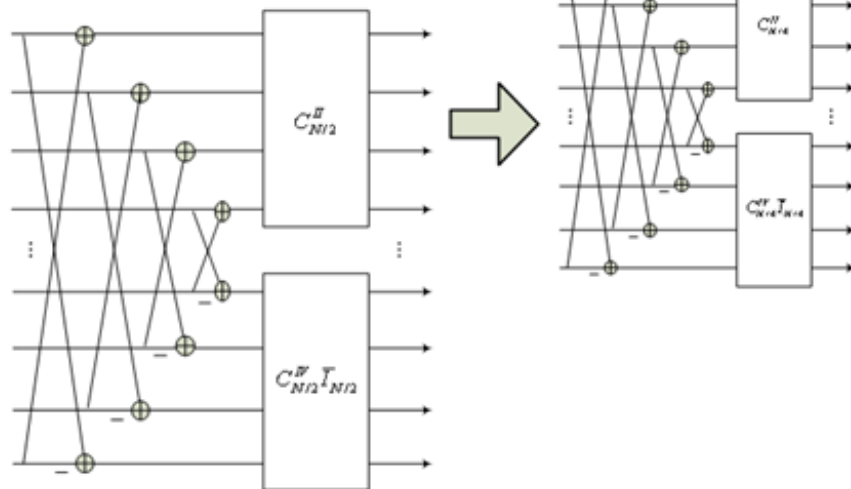
- 正交性:

$$\begin{aligned} & \frac{1}{4} \left( \cos \frac{\pi}{16} \cos \frac{7\pi}{16} + \cos \frac{3\pi}{16} \cos \frac{21\pi}{16} + \cos \frac{5\pi}{16} \cos \frac{35\pi}{16} + \cos \frac{7\pi}{16} \cos \frac{49\pi}{16} \right. \\ & \quad \left. + \cos \frac{9\pi}{16} \cos \frac{63\pi}{16} + \cos \frac{11\pi}{16} \cos \frac{77\pi}{16} + \cos \frac{13\pi}{16} \cos \frac{91\pi}{16} + \cos \frac{15\pi}{16} \cos \frac{105\pi}{16} \right) \\ &= \frac{1}{4} \left[ \left( \cos \frac{8\pi}{16} + \cos \frac{6\pi}{16} \right) + \left( \cos \frac{24\pi}{16} + \cos \frac{18\pi}{16} \right) + \dots + \left( \cos \frac{104\pi}{16} + \cos \frac{78\pi}{16} \right) + \left( \cos \frac{120\pi}{16} + \cos \frac{90\pi}{16} \right) \right] \\ &= \frac{1}{4} \left[ \cos \frac{6\pi}{16} + \cos \frac{18\pi}{16} + \cos \frac{30\pi}{16} + \cos \frac{42\pi}{16} + \cos \frac{54\pi}{16} + \cos \frac{66\pi}{16} + \cos \frac{78\pi}{16} + \cos \frac{90\pi}{16} \right] \\ &= \frac{1}{4} \left[ \cos \frac{6\pi}{16} - \cos \frac{2\pi}{16} + \cos \frac{2\pi}{16} + \cos \frac{10\pi}{16} - \cos \frac{6\pi}{16} + \cos \frac{2\pi}{16} - \cos \frac{2\pi}{16} - \cos \frac{10\pi}{16} \right] = 0 \\ & \frac{1}{4} \left[ \cos^2 \left( \frac{\pi}{16} \right) + \cos^2 \left( \frac{3\pi}{16} \right) + \cos^2 \left( \frac{5\pi}{16} \right) + \cos^2 \left( \frac{7\pi}{16} \right) + \cos^2 \left( \frac{9\pi}{16} \right) + \cos^2 \left( \frac{11\pi}{16} \right) + \cos^2 \left( \frac{13\pi}{16} \right) + \cos^2 \left( \frac{15\pi}{16} \right) \right] \\ &= \frac{1}{4} \left[ \cos^2 \left( \frac{\pi}{16} \right) + \cos^2 \left( \frac{3\pi}{16} \right) + \cos^2 \left( \frac{5\pi}{16} \right) + \cos^2 \left( \frac{7\pi}{16} \right) + \cos^2 \left( \frac{7\pi}{16} \right) + \cos^2 \left( \frac{5\pi}{16} \right) + \cos^2 \left( \frac{3\pi}{16} \right) + \cos^2 \left( \frac{\pi}{16} \right) \right] \\ &= \frac{1}{2} \left[ \cos^2 \left( \frac{\pi}{16} \right) + \cos^2 \left( \frac{3\pi}{16} \right) + \cos^2 \left( \frac{5\pi}{16} \right) + \cos^2 \left( \frac{7\pi}{16} \right) \right] \\ &= \left[ \cos^2 \left( \frac{\pi}{16} \right) + \cos^2 \left( \frac{3\pi}{16} \right) + \sin^2 \left( \frac{3\pi}{16} \right) + \sin^2 \left( \frac{\pi}{16} \right) \right] = 1 \end{aligned}$$

- 递归性  $C_N^H = \frac{1}{\sqrt{2}} \begin{bmatrix} C_{N/2}^H & 0 \\ 0 & C_{N/2}^{H*} \bar{I}_{N/2} \end{bmatrix} \begin{bmatrix} I_{N/2} & \bar{I}_{N/2} \\ I_{N/2} & -I_{N/2} \end{bmatrix}$

∴

$$C_{N/2}^H = \frac{1}{\sqrt{2}} \begin{bmatrix} C_{N/4}^H & 0 \\ 0 & C_{N/4}^{H*} \bar{I}_{N/4} \end{bmatrix} \begin{bmatrix} I_{N/4} & \bar{I}_{N/4} \\ \bar{I}_{N/4} & -I_{N/4} \end{bmatrix}$$



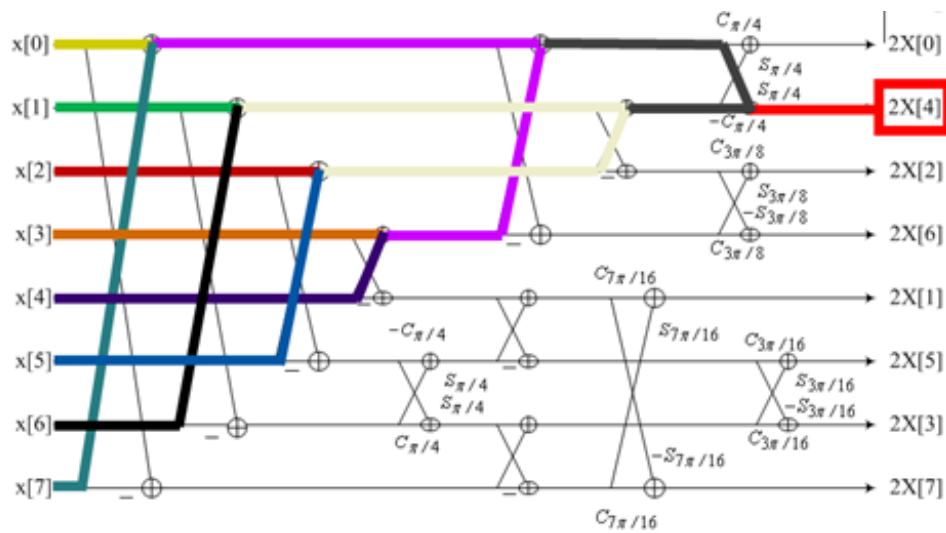
## 9. 快速DCT变换

- 以一维8x8变换为例

$$C_8 = \frac{1}{\sqrt{8}} \begin{bmatrix} 1 & 1 & 1 & \dots & 1 \\ \sqrt{2} \cos \frac{\pi}{16} & \sqrt{2} \cos \frac{3\pi}{16} & \sqrt{2} \cos \frac{5\pi}{16} & \dots & \sqrt{2} \cos \frac{15\pi}{16} \\ \vdots & \vdots & \vdots & \vdots & \vdots \\ \sqrt{2} \cos \frac{7\pi}{16} & \sqrt{2} \cos \frac{21\pi}{16} & \sqrt{2} \cos \frac{35\pi}{16} & \dots & \sqrt{2} \cos \frac{105\pi}{16} \end{bmatrix}$$

- 对于DCT系数X[4]:

$$\begin{aligned} X[4] &= \frac{1}{2} \sum_{n=0}^7 x[n] \cos \frac{(2n+1)4\pi}{16} \\ &= \frac{1}{2} (x[0] \cos \frac{4\pi}{16} + x[1] \cos \frac{12\pi}{16} + x[2] \cos \frac{20\pi}{16} + x[3] \cos \frac{28\pi}{16} + x[4] \cos \frac{36\pi}{16} + x[5] \cos \frac{44\pi}{16} + x[6] \cos \frac{52\pi}{16} + x[7] \cos \frac{60\pi}{16}) \\ &= \frac{1}{2} \left[ (x[0] + x[7] + x[3] + x[4]) \cos \frac{\pi}{4} + (x[1] + x[6] + x[2] + x[5]) (-\cos \frac{\pi}{4}) \right] \end{aligned}$$



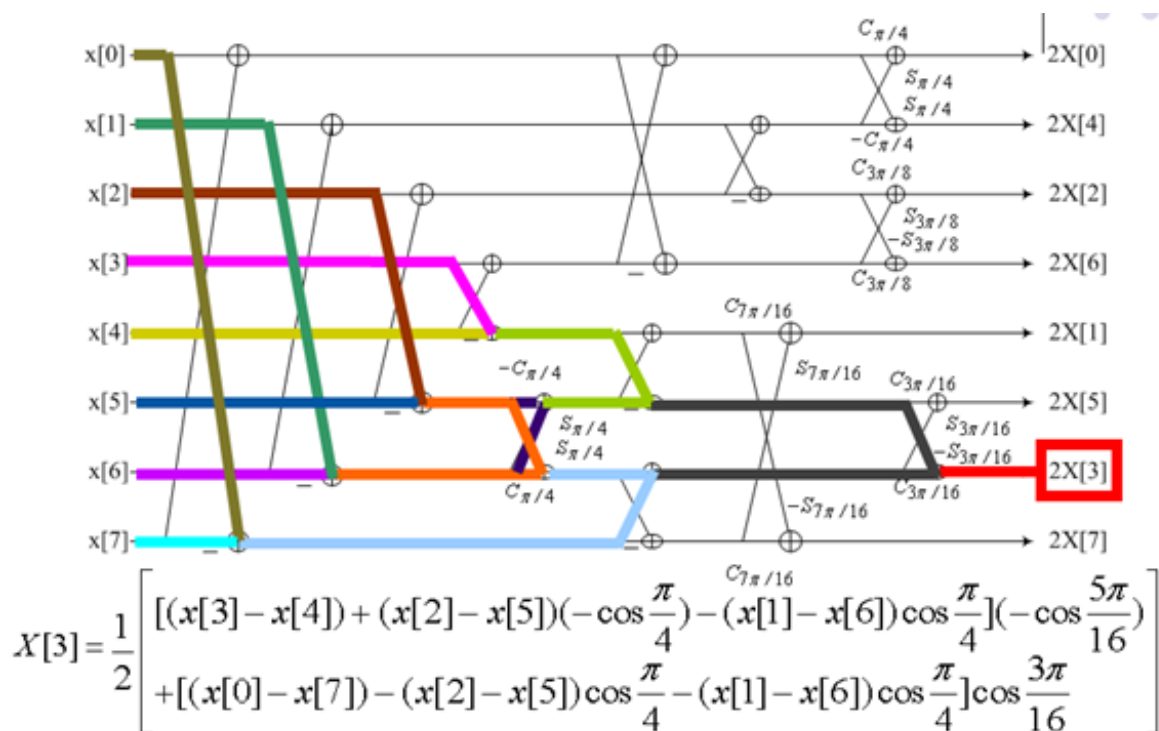
$$X[4] = \frac{1}{2} \left[ (x[0] + x[7]) + (x[3] + x[4]) \right] S_{\pi/4} + \frac{1}{2} \left[ (x[1] + x[6]) + (x[2] + x[5]) \right] - C_{\pi/4}$$

下图是一个动态展示：

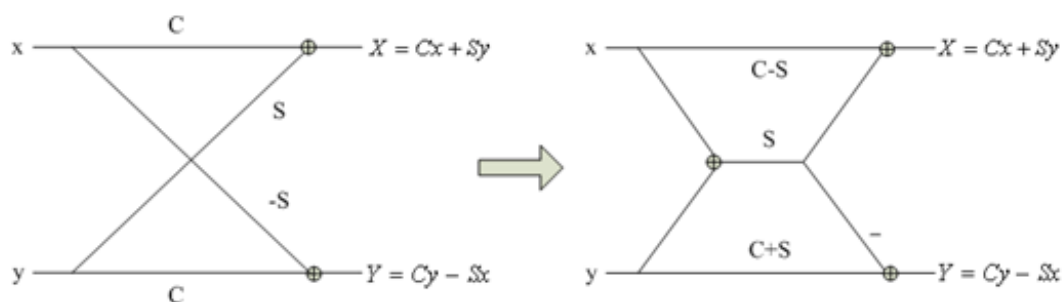
• 对于DCT系数X[3]:

$$\begin{aligned} \cos \frac{3\pi}{16} &= -\cos \frac{45\pi}{16} & \cos \frac{9\pi}{16} &= -\cos \frac{39\pi}{16} \\ \cos \frac{15\pi}{16} &= -\cos \frac{33\pi}{16} & \cos \frac{21\pi}{16} &= -\cos \frac{27\pi}{16} \\ \cos \frac{21\pi}{16} &= -\cos \frac{5\pi}{16} & \sin \frac{\pi}{4} &= \cos \frac{\pi}{4} \end{aligned}$$

$$\begin{aligned} X[3] &= \frac{1}{2} \sum_{n=0}^7 x[n] \cos \frac{(2n+1)3\pi}{16} \\ &= \frac{1}{2} \left( x[0] \cos \frac{3\pi}{16} + x[1] \cos \frac{9\pi}{16} + x[2] \cos \frac{15\pi}{16} + x[3] \cos \frac{21\pi}{16} + x[4] \cos \frac{27\pi}{16} + x[5] \cos \frac{33\pi}{16} + x[6] \cos \frac{39\pi}{16} + x[7] \cos \frac{45\pi}{16} \right) \\ &= \frac{1}{2} \left[ (x[0] - x[7]) \cos \frac{3\pi}{16} + (x[1] - x[6]) \cos \frac{9\pi}{16} + (x[2] - x[5]) \cos \frac{15\pi}{16} + (x[3] - x[4]) \cos \frac{21\pi}{16} \right] \\ &= \frac{1}{2} \left[ (x[0] - x[7]) \cos \frac{3\pi}{16} + (x[1] - x[6]) \cos \left( \frac{5\pi}{16} + \frac{4\pi}{16} \right) + (x[2] - x[5]) \cos \left( \frac{20\pi}{16} - \frac{5\pi}{16} \right) + (x[3] - x[4]) \left( -\cos \frac{5\pi}{16} \right) \right] \\ &= \frac{1}{2} \left[ (x[0] - x[7]) \cos \frac{3\pi}{16} + (x[1] - x[6]) \left( \cos \frac{5\pi}{16} \cos \frac{4\pi}{16} - \sin \frac{5\pi}{16} \sin \frac{4\pi}{16} \right) + (x[2] - x[5]) \left( \cos \frac{20\pi}{16} \cos \frac{5\pi}{16} + \sin \frac{20\pi}{16} \sin \frac{5\pi}{16} \right) + (x[3] - x[4]) \left( -\cos \frac{5\pi}{16} \right) \right] \\ &= \frac{1}{2} \left[ (x[0] - x[7]) \cos \frac{3\pi}{16} + (x[1] - x[6]) \left( \cos \frac{5\pi}{16} \cos \frac{4\pi}{16} - \cos \frac{3\pi}{16} \cos \frac{4\pi}{16} \right) + (x[2] - x[5]) \left( \cos \frac{4\pi}{16} \cos \frac{5\pi}{16} + \cos \frac{4\pi}{16} \cos \frac{3\pi}{16} \right) + (x[3] - x[4]) \left( -\cos \frac{5\pi}{16} \right) \right] \\ &= \frac{1}{2} \left[ \begin{aligned} &[(x[0] - x[7]) - (x[2] - x[5]) \cos \frac{\pi}{4} - (x[1] - x[6]) \cos \frac{\pi}{4}] \cos \frac{3\pi}{16} \\ &+ [(x[3] - x[4]) + (x[2] - x[5]) \left( -\cos \frac{\pi}{4} \right) - (x[1] - x[6]) \cos \frac{\pi}{4}] \left( -\cos \frac{5\pi}{16} \right) \end{aligned} \right] \end{aligned}$$



## ● 旋转平面



$$\begin{pmatrix} X \\ Y \end{pmatrix} = \begin{pmatrix} C & S \\ -S & C \end{pmatrix} \begin{pmatrix} x \\ y \end{pmatrix}$$

$$X = Cx + Sy$$

$$Y = Cy - Sx$$

4个乘法2个加法

$$tmp = S(x + y)$$

$$X = (C - S)x + tmp$$

$$Y = (C + S)y - tmp$$

3个乘法3个加法

## 10. 整数离散余弦变换

### ● 离散余弦变换为浮点操作

- 需要64位精度
- 浮点计算复杂度高
- 变换精度高

- 整数变换：离散余弦变换的整数近似
  - 需要更少的位宽
  - 整数计算复杂度低
  - 好的整数变换的变换精度接近浮点变换
- 浮点近似方法

$I = \text{round}(dR)$  其中,  $d=2^n$ ,  $n$ 为位宽  
 $\text{round}(\bullet)$ 四舍五入操作

$$R \approx \frac{I}{d}$$

$$R = \cos \frac{\pi}{4} = 0.707107, d = 2^3 = 8$$

$$\text{round}(dR) = \text{round}(8 \cos \frac{\pi}{4}) = \text{round}(5.656856) = 6$$

$$\cos \frac{\pi}{4} \approx \frac{6}{8} = 0.75$$

任何整数都可以表示为:

$$I = a_n 2^n + a_{n-1} 2^{n-1} + \dots + a_0 2^0, a_i = 0 \text{ or } 1$$

$$\frac{I}{d} = \frac{(a_n 2^n + a_{n-1} 2^{n-1} + \dots + a_0 2^0)}{2^m}$$

$$= a_n 2^{n-m} + a_{n-1} 2^{n-1-m} + \dots + a_0 2^{-m}$$

$$C \frac{I}{d} = C a_n 2^{n-m} + C a_{n-1} 2^{n-1-m} + \dots + C a_0 2^{-m}$$

$$C 2^k \begin{cases} C \ll k, & k > 0 \\ C \gg k & k < 0 \end{cases}$$

- 例:  $\cos \frac{\pi}{4} \approx \frac{6}{8} = 0.75$

$$f \cos \frac{\pi}{4} \approx \frac{6f}{8} = \frac{(4+2)}{8} f = \left(\frac{1}{2} + \frac{1}{4}\right) f = (f \gg 1) + (f \gg 2)$$

浮点数的近似精度与位宽成正比

$$R = \cos \frac{\pi}{4} = 0.707107, d = 2^4 = 16$$

$$\text{round}(dR) = \text{round}(16 \cos \frac{\pi}{4}) = \text{round}(11.313712) = 11$$

$$\cos \frac{\pi}{4} \approx \frac{11}{16} = 0.6875$$

$$f \cos \frac{\pi}{4} \approx \frac{11f}{16} = \frac{(8+2+1)}{16} f = \left(\frac{1}{2} + \frac{1}{8} + \frac{1}{16}\right) f = (f \gg 1) + (f \gg 3) + (f \gg 4)$$

#### 11. H.264的4x4整数变换

- 一维4x4浮点变换矩阵

$$\begin{bmatrix} 1/2 & 1/2 & 1/2 & 1/2 \\ \sqrt{1/2} \cos(\pi/8) & \sqrt{1/2} \cos(3\pi/8) & -\sqrt{1/2} \cos(3\pi/8) & -\sqrt{1/2} \cos(\pi/8) \\ 1/2 & -1/2 & -1/2 & 1/2 \\ \sqrt{1/2} \cos(3\pi/8) & -\sqrt{1/2} \cos(\pi/8) & \sqrt{1/2} \cos(\pi/8) & \sqrt{1/2} \cos(3\pi/8) \end{bmatrix}$$

$$\begin{bmatrix} a & a & a & a \\ b & c & -c & -b \\ a & -a & -a & a \\ c & -b & b & c \end{bmatrix} \quad a = 1/2; b = \sqrt{1/2} \cos(\pi/8); c = \sqrt{1/2} \cos(3\pi/8)$$

● 整数近似

$$\begin{bmatrix} a & a & a & a \\ b & c & -c & -b \\ a & -a & -a & a \\ c & -b & b & c \end{bmatrix} = \begin{bmatrix} a & 0 & 0 & 0 \\ 0 & b & 0 & 0 \\ 0 & 0 & a & 0 \\ 0 & 0 & 0 & b \end{bmatrix} \begin{bmatrix} 1 & 1 & 1 & 1 \\ 1 & d & -d & -1 \\ 1 & -1 & -1 & 1 \\ d & -1 & 1 & -d \end{bmatrix}$$

$$d = c/b = \sqrt{2} - 1 = 0.414213... \text{ 令 } d = 1/2$$

$$\begin{bmatrix} 1 & 1 & 1 & 1 \\ 1 & d & -d & -1 \\ 1 & -1 & -1 & 1 \\ d & -1 & 1 & -d \end{bmatrix} = \begin{bmatrix} 1 & 1 & 1 & 1 \\ 1 & 1/2 & -1/2 & -1 \\ 1 & -1 & -1 & 1 \\ 1/2 & -1 & 1 & -1/2 \end{bmatrix}$$

由  $d = 1/2$ ,  $b^2 + c^2 = 1$ ,  $d = c/b$  根据  $b$  和  $d$  的关系得到  $b$  值为:

$$b = \sqrt{\frac{1}{2(1+d^2)}} = \sqrt{2/5}$$

$$\begin{bmatrix} a & 0 & 0 & 0 \\ 0 & b & 0 & 0 \\ 0 & 0 & a & 0 \\ 0 & 0 & 0 & b \end{bmatrix} = \begin{bmatrix} 1/2 & 0 & 0 & 0 \\ 0 & \sqrt{2/5} & 0 & 0 \\ 0 & 0 & 1/2 & 0 \\ 0 & 0 & 0 & \sqrt{2/5} \end{bmatrix}$$

● 将变换核矩阵的  $1/2$  因子移到缩放因子矩阵中

$$\begin{bmatrix} a & 0 & 0 & 0 \\ 0 & b & 0 & 0 \\ 0 & 0 & a & 0 \\ 0 & 0 & 0 & b \end{bmatrix} \begin{bmatrix} 1 & 1 & 1 & 1 \\ 1 & 1/2 & -1/2 & -1 \\ 1 & -1 & -1 & 1 \\ 1/2 & -1 & 1 & -1/2 \end{bmatrix} = \begin{bmatrix} a & 0 & 0 & 0 \\ 0 & b/2 & 0 & 0 \\ 0 & 0 & a & 0 \\ 0 & 0 & 0 & b/2 \end{bmatrix} \begin{bmatrix} 1 & 1 & 1 & 1 \\ 2 & 1 & -1 & -2 \\ 1 & -1 & -1 & 1 \\ 1 & -2 & 2 & -1 \end{bmatrix}$$

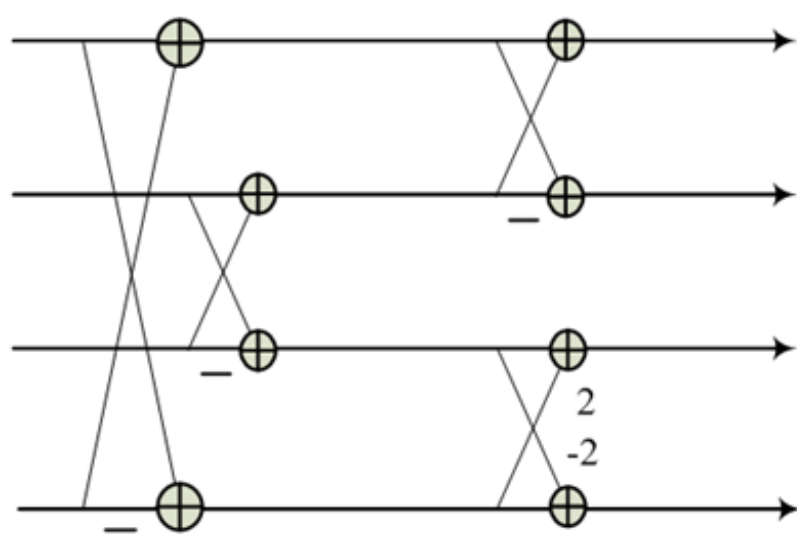
$$\begin{bmatrix} 1 & 1 & 1 & 1 \\ 2 & 1 & -1 & -2 \\ 1 & -1 & -1 & 1 \\ 1 & -2 & 2 & -1 \end{bmatrix}$$

变换核

$$\begin{bmatrix} a & 0 & 0 & 0 \\ 0 & b/2 & 0 & 0 \\ 0 & 0 & a & 0 \\ 0 & 0 & 0 & b/2 \end{bmatrix}$$

缩放因子

$$\begin{bmatrix} 1 & 1 & 1 & 1 \\ 2 & 1 & -1 & -2 \\ 1 & -1 & -1 & 1 \\ 1 & -2 & 2 & -1 \end{bmatrix}$$



H.264 4x4整数变换的蝶形图

● 二维4x4整数变换

$$A = BC = \begin{bmatrix} a & 0 & 0 & 0 \\ 0 & b/2 & 0 & 0 \\ 0 & 0 & a & 0 \\ 0 & 0 & 0 & b/2 \end{bmatrix} \begin{bmatrix} 1 & 1 & 1 & 1 \\ 2 & 1 & -1 & -2 \\ 1 & -1 & -1 & 1 \\ 1 & -2 & 2 & -1 \end{bmatrix}$$

$$Y = AXA^T = (BC)X(BC)^T = B(CXC^T)B^T$$

$$= (CXC^T) \otimes \begin{bmatrix} a^2 & ab/2 & a^2 & ab/2 \\ ab/2 & b^2/4 & ab/2 & b^2/4 \\ a^2 & ab/2 & a^2 & ab/2 \\ ab/2 & b^2/4 & ab/2 & b^2/4 \end{bmatrix}$$



- 缩放因子矩阵与量化矩阵合并

$$\begin{bmatrix} q_{00} & q_{01} & q_{02} & q_{03} \\ q_{10} & q_{11} & q_{12} & q_{13} \\ q_{20} & q_{21} & q_{22} & q_{23} \\ q_{30} & q_{31} & q_{32} & q_{33} \end{bmatrix} \otimes \begin{bmatrix} a^2 & ab/2 & a^2 & ab/2 \\ ab/2 & b^2/4 & ab/2 & b^2/4 \\ a^2 & ab/2 & a^2 & ab/2 \\ ab/2 & b^2/4 & ab/2 & b^2/4 \end{bmatrix} \\ = \begin{bmatrix} q_{00}a^2 & q_{01}ab/2 & q_{02}a^2 & q_{03}ab/2 \\ q_{10}ab/2 & q_{11}b^2/4 & q_{12}ab/2 & q_{13}b^2/4 \\ q_{20}a^2 & q_{21}ab/2 & q_{22}a^2 & q_{23}ab/2 \\ q_{30}ab/2 & q_{31}b^2/4 & q_{32}ab/2 & q_{33}b^2/4 \end{bmatrix}$$

- 最简单的一种变换

$$H_1 = [1] \quad H_2 = \begin{bmatrix} 1 & 1 \\ 1 & -1 \end{bmatrix} \quad H_4 = \begin{bmatrix} H_2 & H_2 \\ H_2 & -H_2 \end{bmatrix} = \begin{bmatrix} 1 & 1 & 1 & 1 \\ 1 & -1 & 1 & -1 \\ 1 & 1 & -1 & -1 \\ 1 & -1 & -1 & 1 \end{bmatrix}$$

$$H_N = H_{2^n} = H_2 \otimes H_{2^{n-1}} = \begin{bmatrix} H_{2^{n-1}} & H_{2^{n-1}} \\ H_{2^{n-1}} & -H_{2^{n-1}} \end{bmatrix}$$

## 12. 小波变换

- 新的变换方法
- 避免由于块编码带来的块效应
- 更适合视频空间可分级编码

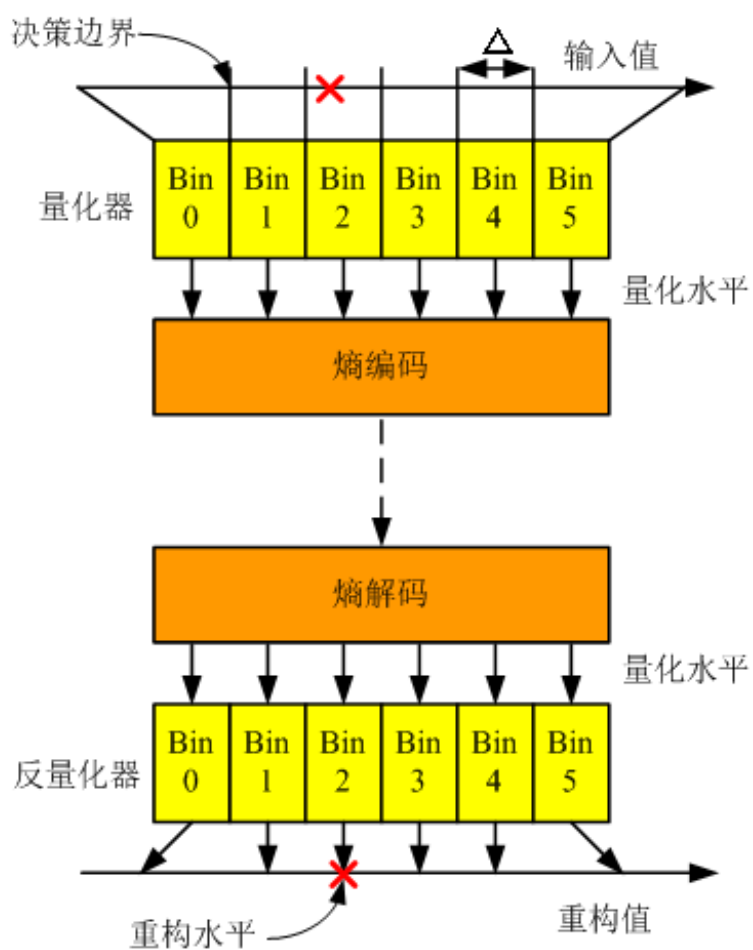
## 第7章 量化

### 1. 量化Quantization

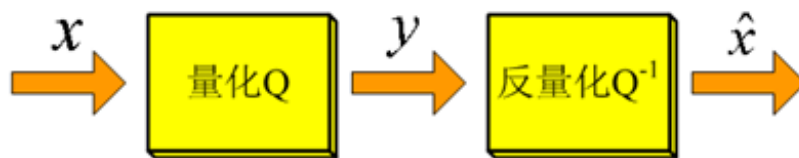
- 用更小的集合表示更大的集合的过程
  - 对信号源的有限近似
  - 有损过程
  - 应用
    - A/D转换
    - 压缩
  - 量化方法
    - 标量(Scalar)量化
    - 矢量(Vector)量化

## 2. 量化的基本思想

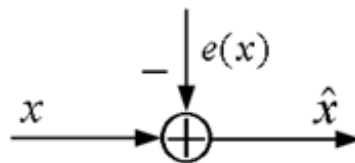
- 映射一个输入间隔到一个整数
- 减少信源编码的bit
- 一般情况重构值与输入值不同



## 3. 量化模型



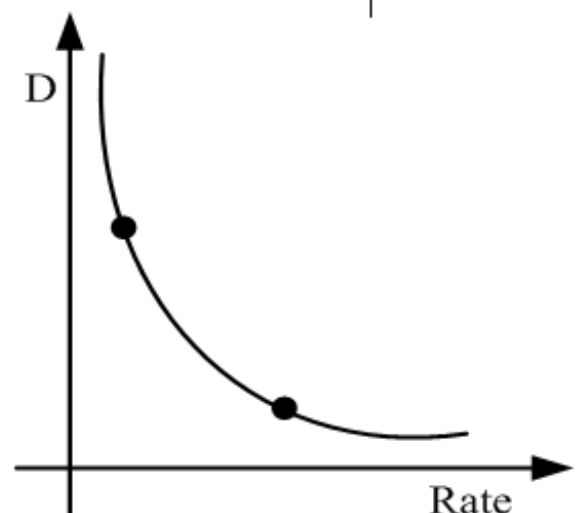
- 量化：映射 $x$ 到量化水平 $y$ ,  $Q(x) = y$
- 反量化： $Q^{-1}(Q(x)) = Q^{-1}(y) = \hat{x}$ 
  - $Q$ 和 $Q^{-1}$ 不是精确可逆的，因此 $x \neq \hat{x}$
- 量化误差： $e(x) = x - \hat{x}$
- 量化模型



#### 4. 量化的率失真优化

- 量化器设计问题
  - 量化水平的个数，即Bin的个数
  - 决策边界：Bin的边界
  - 重构水平
- 量化器设计是对率失真的优化
  - 为了减少码率的大小，需要减少Bin的个数
  - Bin的个数减少导致重构的误差增大，失真也就随着增大

#### 5. 失真测量



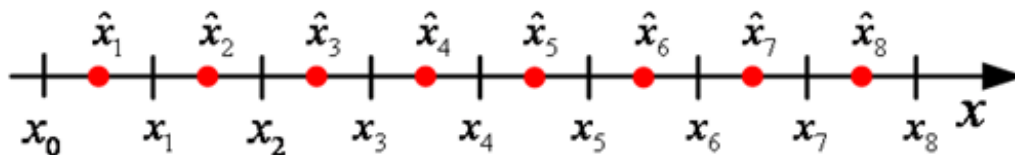
- 量化的均方差
  - Bin的数目:  $M$
  - 决策边界:  $x_i, i=0, \dots, M$
  - 重构水平:  $\hat{x}_i, i=0, \dots, M$
  - 如果  $x_{i-1} < x \leq x_i$ , 重构水平为:  $\hat{x}_i$
  - 量化误差:
 
$$MSE = \int_{-\infty}^{\infty} e(x)^2 f_X(x) dx = \int_{-\infty}^{\infty} (x - \hat{x})^2 f_X(x) dx$$

$$= \int_{x_0}^{x_1} (x - \hat{x}_1)^2 f_X(x) dx + \int_{x_1}^{x_2} (x - \hat{x}_2)^2 f_X(x) dx + \dots$$

$$= \sum_{i=1}^M \int_{x_{i-1}}^{x_i} (x - \hat{x}_i)^2 f_X(x) dx$$

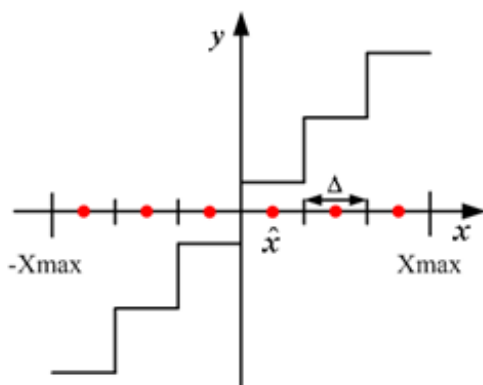
## 6. 量化器设计

- 量化器设计的两个方面
  - 给定量化水平数目  $M$ , 找到决策边界  $x_i$  和重构水平 使MSE最小
  - 给定失真限制  $D$ , 找到量化水平数目  $M$ , 决策边界  $x_i$  和重构水平  $y_i$  使  $MSE \leq D$



## 7. 均匀量化 (Uniform Quantization)

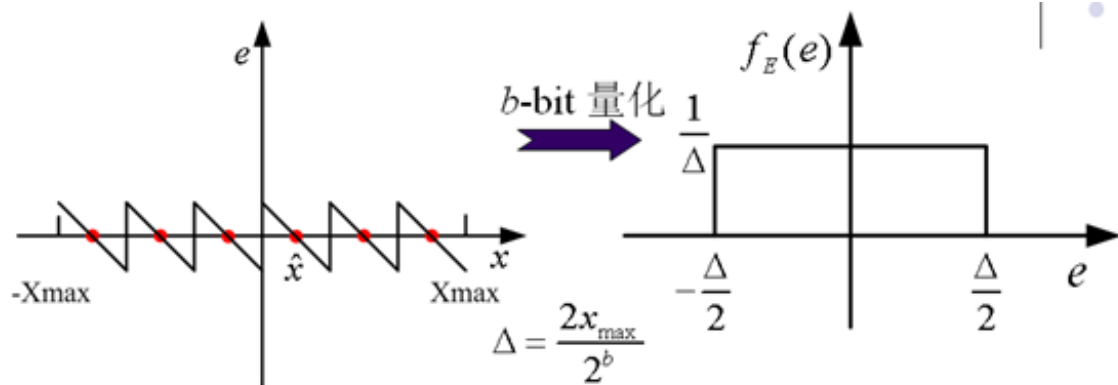
- 除了两端的间隔之外, 所有的Bin有同样的量化步长  $\Delta$ 
  - $x_i$  之间和  $\hat{x}_i$  之间间隔均匀
  - $x_i$  之间和  $\hat{x}_i$  之间间隔都为固定值  $\Delta$



输入范围:  $-x_{\max} \leq x \leq x_{\max}$

重构水平:  $\hat{x}_i = \frac{x_i + x_{i-1}}{2}$

误差范围:  $-\frac{\Delta}{2} \leq e \leq \frac{\Delta}{2}$



$$MSE = \int_{-\infty}^{\infty} e^2 f_E(e) de = \int_{-\Delta/2}^{\Delta/2} e^2 \frac{1}{\Delta} de$$

量化步长 $\Delta$ 减少一半，  
量化水平数 $M$ 增加一倍，  
需要 $(b+1)$ -bit 量化

$$= \frac{1}{3\Delta} e^3 \Big|_{-\Delta/2}^{\Delta/2} = \frac{2}{3\Delta} \left( \frac{\Delta}{2} \right)^3 = \frac{\Delta^2}{12} = \frac{1}{3} \frac{x_{\max}^2}{2^{2b}}$$

#### 8. 量化与峰值信噪比

- 峰值信噪比:  $PSNR_{dB} = 10 \log_{10} \frac{255^2}{MSE}$

- 量化噪声:

$$PSNR_{dB} = 10 \log_{10} \frac{12 \times 255^2}{\Delta^2} = 10 \log_{10} 12 \times 255^2 - 20 \log_{10} \Delta$$

- 量化水平编码比特增加1bit，量化水平数 $M$ 增加一倍，量化步长减少一半 $\Delta' = \frac{\Delta}{2}$

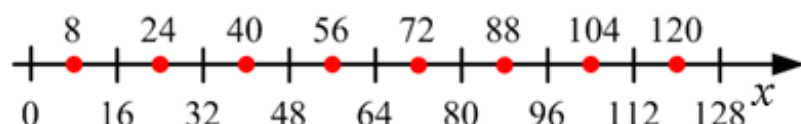
$$PSNR_{dB}(\Delta') = 10 \log_{10} \frac{12 \times 255^2}{\Delta'^2} = 10 \log_{10} 12 \times 255^2 - 20 \log_{10} \Delta'$$

$$= 10 \log_{10} 12 \times 255^2 - 20 \log_{10} \frac{\Delta}{2}$$

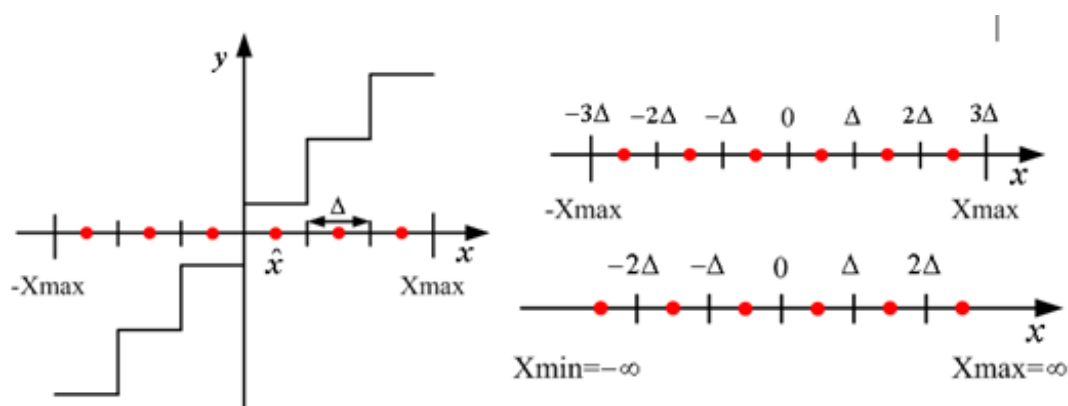
$$= 10 \log_{10} 12 \times 255^2 - 20 \log_{10} \Delta + 20 \log_{10} 2$$

$$\approx PSNR_{dB}(\Delta) + 6$$

- 例：为取值范围在 $[0,128]$ 的离散信号设计3-bit均匀量化器。
  - 最大可能量化水平数： $M = 2^3 = 8$
  - 量化步长： $\Delta = \frac{x_{\max} - x_{\min}}{M} = \frac{128}{8} = 16$
  - 量化水平： $y_i = \{0,1,2,3,4,5,6,7\}$
  - 重构水平： $\hat{x}_i = \{8,24,40,56,72,88,104,120\}$
  - 最大量化误差： $e_{\max} = 8$

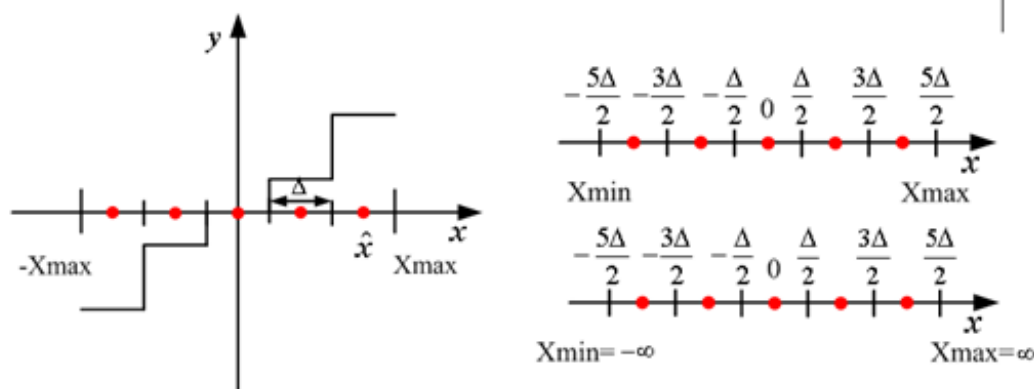


#### 9. 中升量化器 (Midrise Quantizer)



- 偶数个量化水平，0不是重构水平值
- $x_i$ 之间和 $\hat{x}_i$ 之间间隔均匀都为固定值 $\Delta = \frac{2x_{\max}}{2^b}$
- 常用在A/D转换

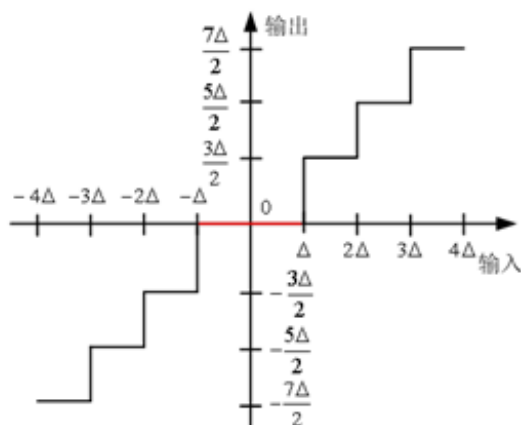
#### 10. 中平量化器 (Midtread Quantizer)



- 奇数个量化水平，0是重构水平值
- $x_i$ 之间和 $\hat{x}_i$ 之间间隔均匀都为固定值 $\Delta = \frac{2x_{\max}}{2^b - 1}$
- 常用在视频压缩中

#### 11. 死区量化器 (Deadzone Quantizer)

- 0值所在区间的Bin的量化步长被加倍， $\Delta \Rightarrow 2\Delta$
- 其它的Bin的量化步长仍是均匀的， $\Delta$
- 产生更多的重构值0



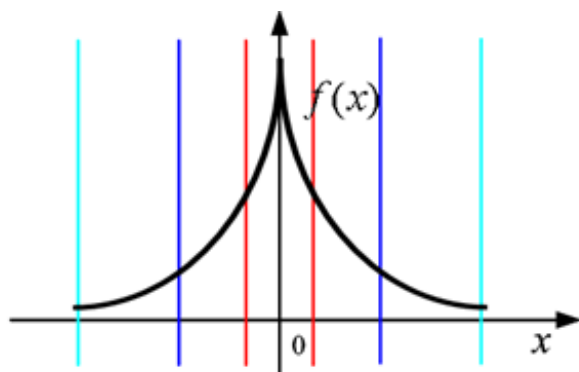
$$\text{量化: } y = Q(x) = \text{sign}(x) \left\lfloor \frac{|x|}{\Delta} \right\rfloor$$

反量化:

$$\hat{x} = Q^{-1}(y) = \begin{cases} 0, & y = 0 \\ \text{sign}(y) \left( |y| + \frac{1}{2} \right) \Delta, & y \neq 0 \end{cases}$$

#### 12. 非均匀量化 (Non-uniform Quantization)

- 如果信源不是均匀分布的，采用均匀量化不是最优的
- 对于非均匀量化，为了减少MSE，当概率密度函数 $f_X(x)$ 高时，使Bin的量化步长减小，当概率密度函数 $f_X(x)$ 低时，使Bin的量化步长增加。



$$\begin{aligned} MSE &= \int_{-\infty}^{\infty} (x - \hat{x})^2 f_X(x) dx \\ &= \sum_{i=1}^M \int_{x_{i-1}}^{x_i} (x - \hat{x}_i)^2 f_X(x) dx \end{aligned}$$

### 13. 最优的标量量化

- 给定解码器，优化编码器
- 已知  $\hat{x}_i$ ，求  $x_i$ ，使MSE最小， $MSE = \sum_{i=1}^M \int_{x_{i-1}}^{x_i} (x - \hat{x}_i)^2 f_X(x) dx$   
求最小MSE，即对MSE求  $x_i$  导数

$$\begin{aligned} & \left( \sum_{i=1}^M \int_{x_{i-1}}^{x_i} (x - \hat{x}_i)^2 f_X(x) dx \right)' \\ &= \left( \int_{x_{i-1}}^{x_i} (x - \hat{x}_i)^2 f_X(x) dx + \int_{x_i}^{x_{i+1}} (x - \hat{x}_{i+1})^2 f_X(x) dx \right)' \\ &= (x_i - \hat{x}_i)^2 f_X(x) - (x_i - \hat{x}_{i+1})^2 f_X(x) = 0 \end{aligned}$$

则有  $(x_i - \hat{x}_{i-1}) - (x_i - \hat{x}_i) = 0$  近邻法则

$$x_i = \frac{\hat{x}_i + \hat{x}_{i+1}}{2} \quad (\text{Nearest Neighbor Rule})$$

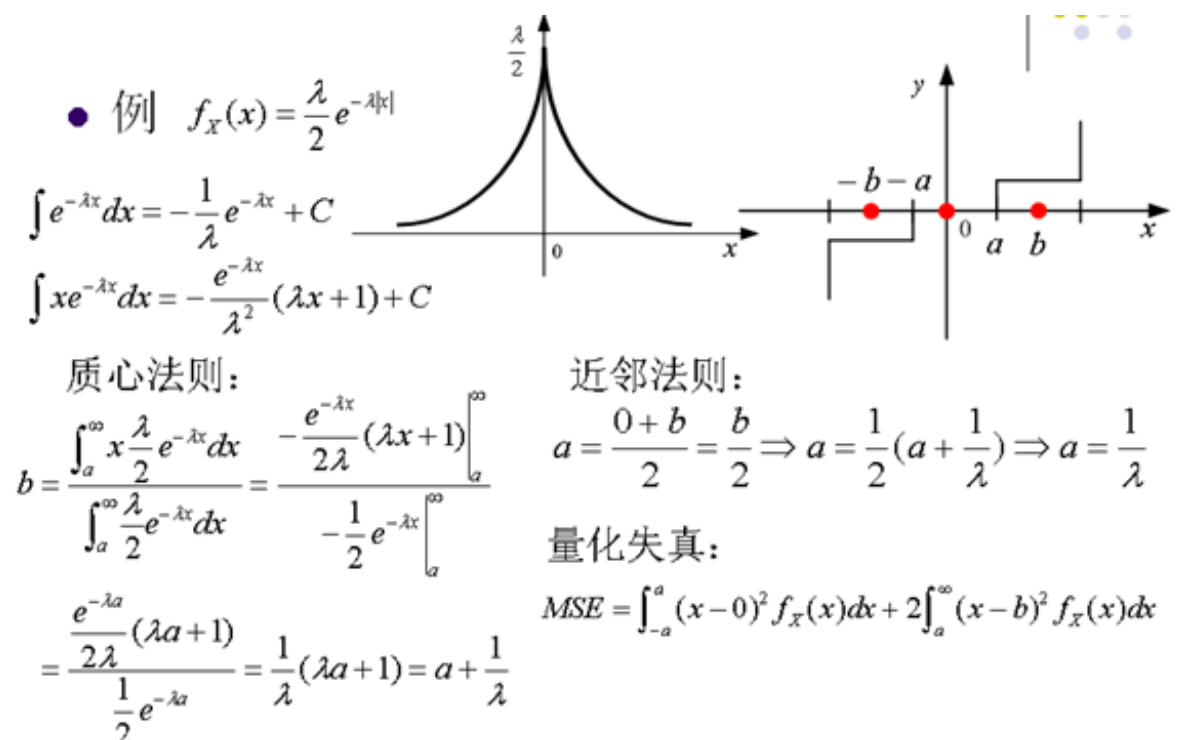
- 给定编码器，优化解码器
- 已知  $x_i$ ，求  $\hat{x}_i$ ，使MSE最小， $MSE = \sum_{i=1}^M \int_{x_{i-1}}^{x_i} (x - \hat{x}_i)^2 f_X(x) dx$   
求最小MSE，即对MSE求  $\hat{x}_i$  导数

$$\begin{aligned} & \left( \sum_{i=1}^M \int_{x_{i-1}}^{x_i} (x - \hat{x}_i)^2 f_X(x) dx \right)'_{\hat{x}_i} = \left( \int_{x_i}^{x_{i+1}} (x - \hat{x}_i)^2 f_X(x) dx \right)'_{\hat{x}_i} \\ &= \int_{x_i}^{x_{i+1}} -2(x - \hat{x}_i) f_X(x) dx = 0 \end{aligned}$$

则有  $\int_{x_i}^{x_{i+1}} x f_X(x) dx - \int_{x_i}^{x_{i+1}} \hat{x}_i f_X(x) dx = 0$  质心法则

$$\hat{x}_i = \frac{\int_{x_i}^{x_{i+1}} x f_X(x) dx}{\int_{x_i}^{x_{i+1}} f_X(x) dx} \quad (\text{Centroid Rules})$$





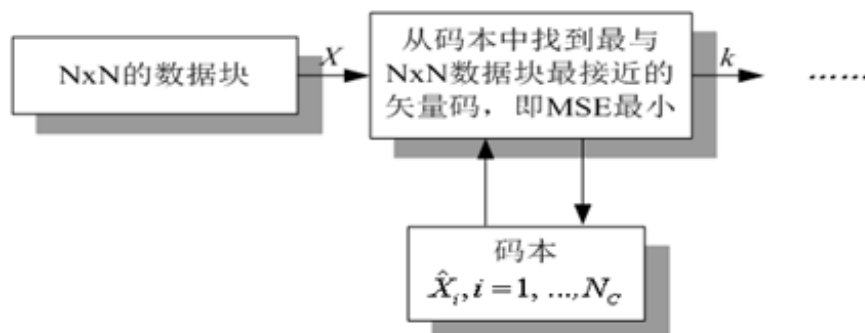
#### 14. 量化编码

- 定长编码量化水平
  - 使用等长的码字编码每个量化水平，码字长为： $\lceil \log_2 M \rceil$
- 熵编码量化水平
  - 根据量化水平的概率分布情况，用变长的码字编码每个量化水平
  - 平均码字长  $\leq \lceil \log_2 M \rceil$
  - 比定长编码量化水平效率高
  - 广泛应用在图像和视频编码中

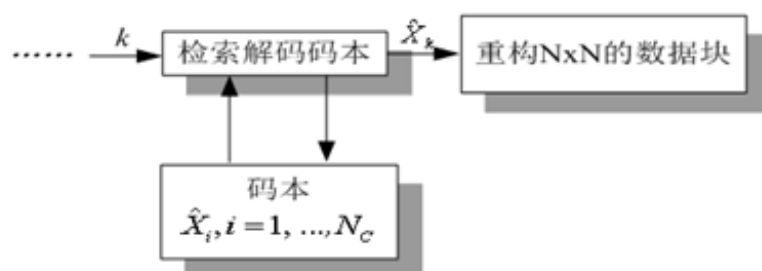
#### 15. 矢量量化

- 标量量化：对数据一个一个的进行量化，称为标量量化。
- 矢量量化：将数据分组，每组K个数据构成K维矢量，再以矢量为处理单元进行量化。
  - 矢量量化是标量量化的多维扩展
  - 标量量化是矢量量化的特殊情况
- 矢量量化工作过程

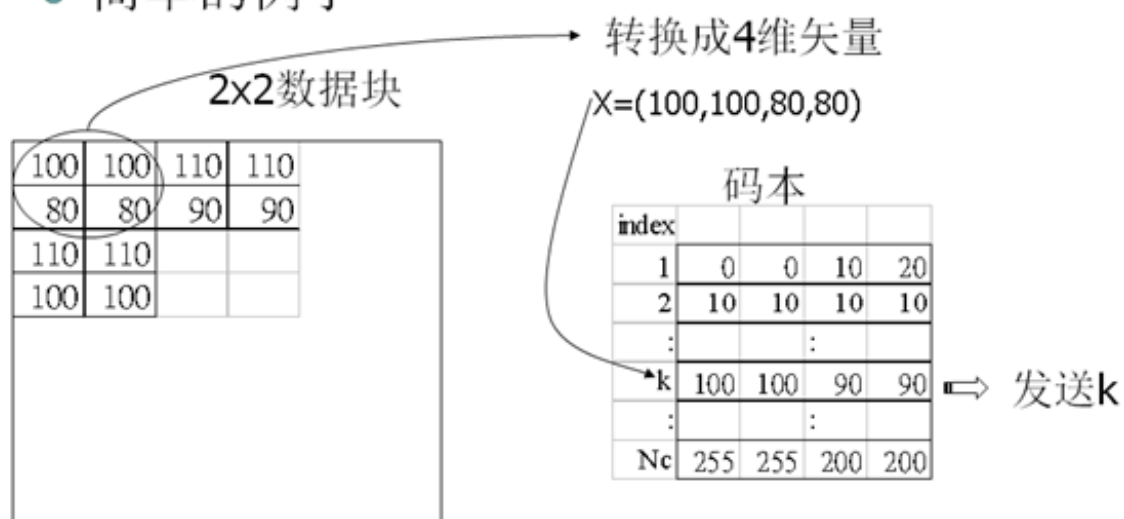
## 编码端



## 解码端

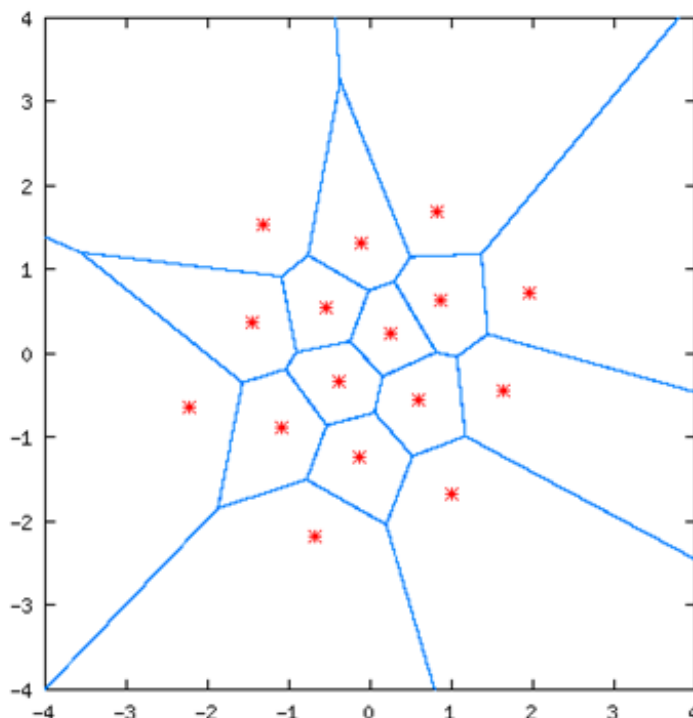


## • 简单的例子



## • 二维矢量量化

- 矢量量化优点
  - 只传码字的下标，编码效率高
  - 在相同码率下，比标量量化失真小
  - 在相同失真下，比标量量化码率低
- 矢量量化缺点：复杂度随着维数的增加呈指数增加



## 第8章 熵编码

### 1. 熵编码

- 熵 (Entropy)：信源的平均信息量，更精确的描述为表示信源所有符号包含信息的平均比特数
  - 信源编码要尽可能的减少信源的冗余，使之接近熵
  - 用更少的比特传递更多的信源信息
- 熵编码：数据压缩中根据信源消息的概率模型使消息的熵最小化
  - 无损压缩
  - 变长编码

### 2. 熵

- 信息量：

单位：比特

$$I(x_i) = \log_2 \frac{1}{p(x_i)} = -\log_2 p(x_i)$$

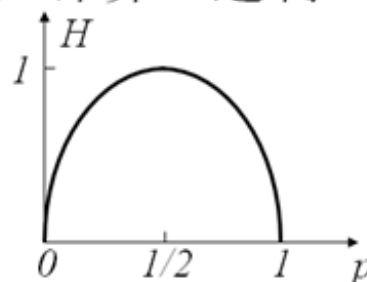
- 熵：

单位：比特/符号

$$H(X) = E[-\log_2 p(x_i)] = -\sum_{i=0}^{N-1} p(x_i) \log_2 p(x_i)$$

- 例：二进制编码中，符号“1”的发生概率是  $p$ ，符号“0”的发生概率是  $1-p$ ，计算二进制编码的熵。

$$\begin{aligned} H(X) &= -\sum_{i=0}^1 p(x_i) \log_2 p(x_i) \\ &= -p(0) \log_2 p(0) - p(1) \log_2 p(1) \\ &= -(1-p) \log_2 (1-p) - p \log_2 p \end{aligned}$$



$$p = \frac{1}{2} \Rightarrow H = -\frac{1}{2} \log_2 \frac{1}{2} - \frac{1}{2} \log_2 \frac{1}{2} = \frac{1}{2} + \frac{1}{2} = 1 \text{ 比特/符号}$$

$$p = \frac{1}{4} \Rightarrow H = -\frac{3}{4} \log_2 \frac{3}{4} - \frac{1}{4} \log_2 \frac{1}{4} = 0.8113 \text{ 比特/符号}$$

$$p = 1 \Rightarrow H = -0 \log_2 0 - \log_2 1 = 0 \text{ 比特/符号}$$

- 例：求四个符号的信源 $X=\{A,B,C,D\}$ 的熵，

1) 四个符号发生概率相同，都为 $1/4$

$$H = \left( -\frac{1}{4} \log_2 \frac{1}{4} \right) \times 4 = \log_2 4 = 2 \text{ 比特/符号}$$

2)  $p(A)=1/2, p(B)=1/4, p(C)=1/8, p(D)=1/8$

$$\begin{aligned} H &= -\frac{1}{2} \log_2 \frac{1}{2} - \frac{1}{4} \log_2 \frac{1}{4} - \frac{1}{8} \log_2 \frac{1}{8} - \frac{1}{8} \log_2 \frac{1}{8} \\ &= \frac{1}{2} + \frac{1}{2} + \frac{3}{8} + \frac{3}{8} = \frac{7}{4} \text{ 比特/符号} < 2 \text{ 比特/符号} \end{aligned}$$

### 3. 定长编码

A → 00

B → 01

C → 10

D → 11



- 信源 $X=\{A,B,C,D\}$

1) 等概率

$$H = \left( -\frac{1}{4} \log_2 \frac{1}{4} \right) \times 4 = \log_2 4 = 2 \text{ 比特/符号}$$

2)  $p(A)=1/2, p(B)=1/4, p(C)=1/8, p(D)=1/8$

$$\begin{aligned} H &= -\frac{1}{2} \log_2 \frac{1}{2} - \frac{1}{4} \log_2 \frac{1}{4} - \frac{1}{8} \log_2 \frac{1}{8} - \frac{1}{8} \log_2 \frac{1}{8} \\ &= \frac{1}{2} + \frac{1}{2} + \frac{3}{8} + \frac{3}{8} = \frac{7}{4} \text{ 比特/符号} < 2 \text{ 比特/符号} \end{aligned}$$

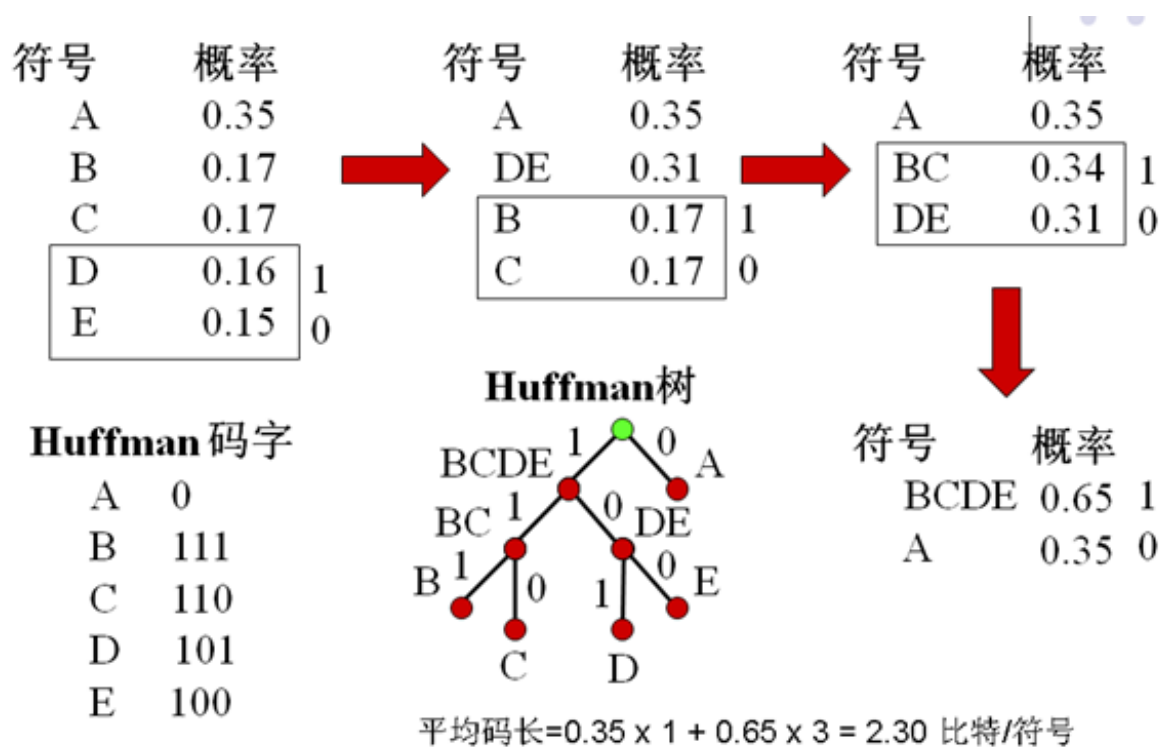
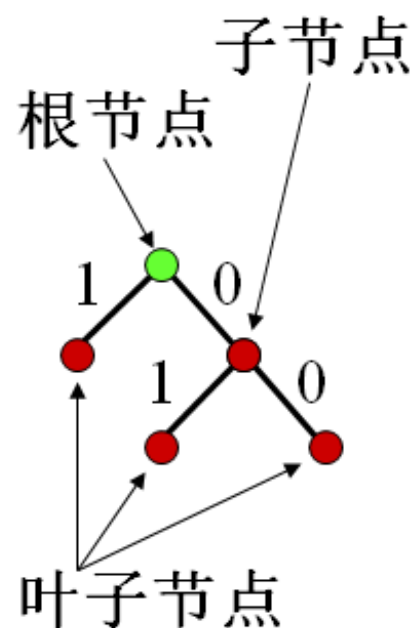
定长编码存在编码冗余

### 4. 变长编码

- 变长编码：用不同的比特数表示每一个符号
  - 为频繁发生的符号分配短码字
  - 为很少发生的符号分配长码字
  - 比定长编码有更高的效率
- 常用的变长编码
  - Huffman编码
  - 算术编码

## 5. Huffman编码

- 前缀码：任何码字不是其它码字的前缀
  - 如果011为一个有效码字，则0，1，01，11必不是有效码字
  - 不会引起解码歧义
- Huffman：
  - 二叉树
  - 树节点:表示符号或符号组合
  - 分支:两个分支一个表示"0"，另一个表示"1"



- Huffman的不唯一性
  - 每次分支有两种选择：0, 1



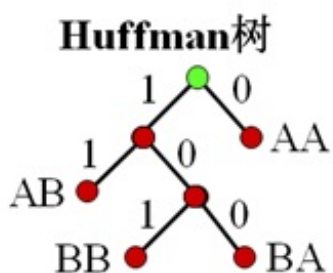
符号	概率
A=0	15/16
B=1	1/16

$H=0.3373$  比特/符号



符号	概率
AA	225/256
AB	15/256
BA	15/256
BB	1/256

$H=0.6746$  比特/符号

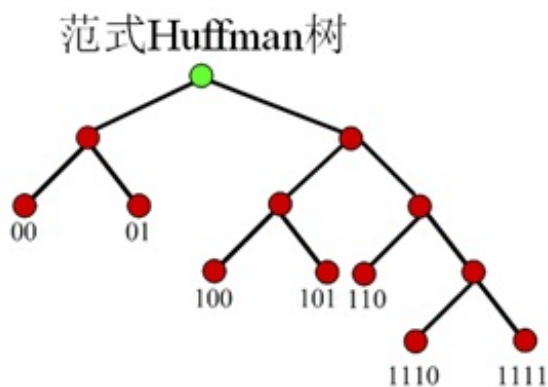
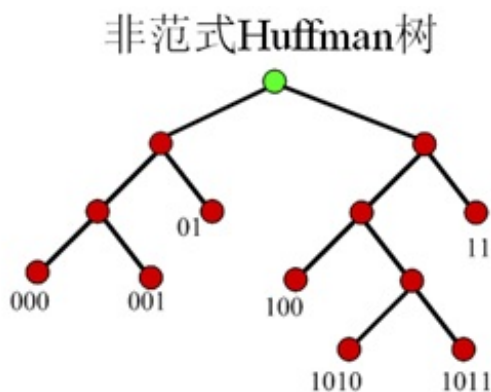


与单符号Huffman编码有相同的问题  
比单符号编码性能更好  
符号种类更多复杂度更高

平均码长 =  $1 \times 225/256 + 2 \times 15/256$   
 $+ 3 \times 15/256 + 3 \times 1/256 = 1.1836$  比特/符号  $\gg 2$  比特/符号

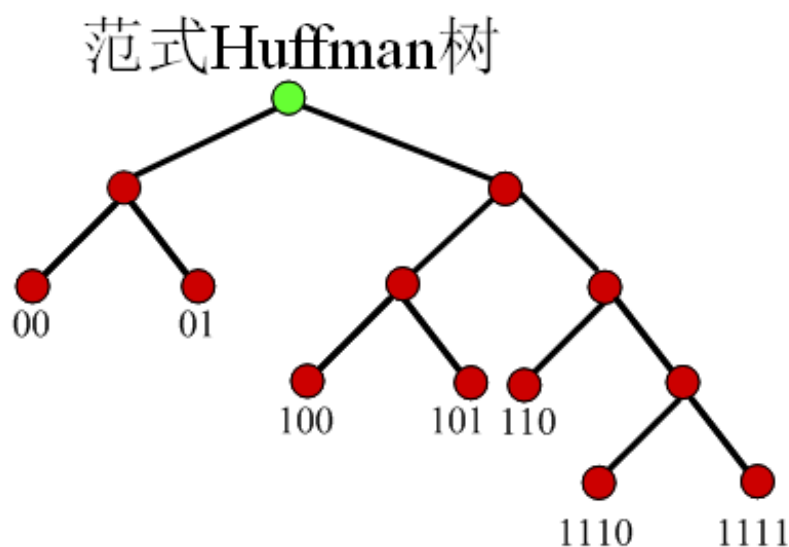
## 7. 范式Huffman编码

- 范式Huffman树的建立规则
  - 节点左支设为0，右支设为1
  - 树的深度从左至右增加
  - 每个符号被放在最先满足的叶子节点



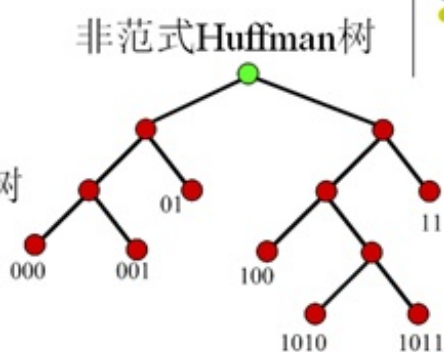
码字长度: 2, 2, 3, 3, 3, 4, 4

- 特性
  - 第一个码字是一串0
  - 相同长度的码字的值是连续的
  - 如果所有的码字通过在低位补0的方式，使所有码字的长度相同则有  $0000 < 0100 < 1000 < 1010 < 1100 < 1110 < 1111$
  - 从码字长度  $n$  到  $n+1$  有如下关系
    - $C(n+1,1) = (C(n, \text{last}) + 1) \ll 1$
  - 从码字长度  $n$  到  $n+2$  有如下关系
    - $C(n+2,1) = (C(n, \text{last}) + 1) \ll 2$



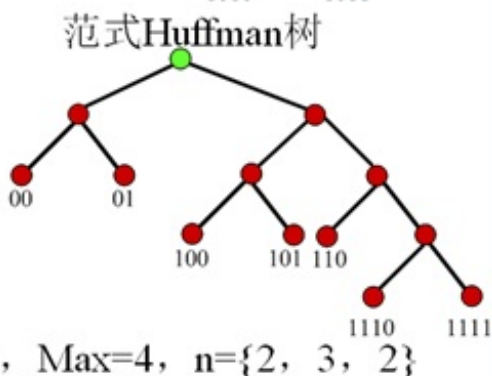
### 非范式Huffman树

- 需要给解码端传输Huffman树
- 解码端需要存储Huffman树



### 范式Huffman树

- 最短的码字长度，Min
- 最长的码字长度，Max
- 在每个码字长度下有多少个码字



## 8. 一元码

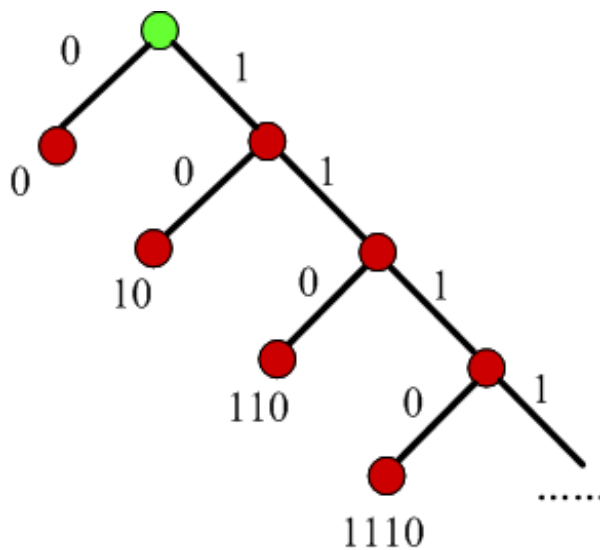
- 编码一个非负整数  $n$  为  $n$  个1和一个0



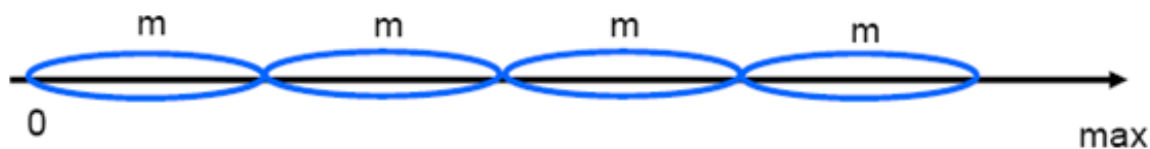
- 不需要存储码表
- 可以用Huffman树表示
- 码长增长太快：n=100，码长101

#### 9. 哥伦布编码

- 将信源符号等分成几组，每组有相应的编号
- 编号小的分配码字短，编号大分配码字长
- 同组的符号有等长的码字，比一元码的码字长度增长慢



<b>n</b>	<b>码字</b>
0	0
1	10
2	110
3	1110
4	11110
5	111110
6	1111110
	.....



- 码字分配



- 码字解析  $n = qm + r = \left\lfloor \frac{n}{m} \right\rfloor m + r$

**q** 码字

0 0

1 10

2 110

3 1110

4 11110

5 111110

6 1111110

.....

**q**: 组编号

**r**: 组内符号, 定长编码

**m**: 组内符号数

当  $m=2^k$  时采用定长编码

当  $m \neq 2^k$  时可以采用定长编码也可以采用变长编码

**r** 值小的采用  $\lfloor \log_2 m \rfloor$

**r** 值大的采用  $\lceil \log_2 m \rceil$

$m=5$ , 00, 01, 10, 110, 111

- 哥伦布编码  $m=5$

n	q	r	code
0	0	0	000
1	0	1	001
2	0	2	010
3	0	3	0110
4	0	4	0111

n	q	r	code
5	1	0	1000
6	1	1	1001
7	1	2	1010
8	1	3	10110
9	1	4	10111

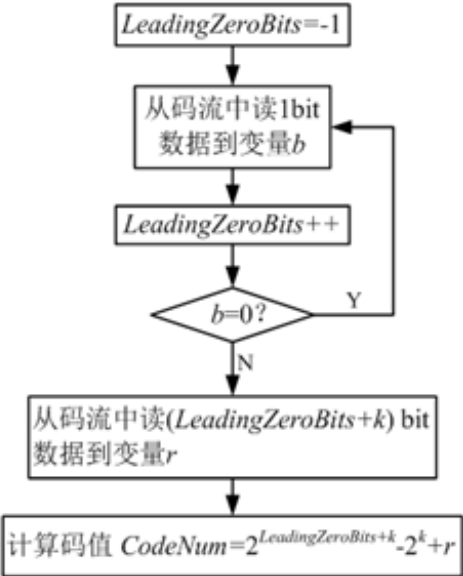
n	q	r	code
10	2	0	11000
11	2	1	11001
12	2	2	11010
13	2	3	110110
14	2	4	110111

- 哥伦布码是范式 Huffman 编码

- 哥伦布码对信源符号的分组大小相同
- 指数哥伦布码对信源符号的分组大小按照指数增长
- 指数哥伦布码依然是一元码加定长码的形式
- 指数哥伦布码的指数 $k=0, 1, 2, \dots$



### K阶指数哥伦布码解码



<i>n</i>	码字	组号
0	1	0
1	010	1
2	011	
3	00100	2
4	00101	
5	00110	
6	00111	
7	0001000	3
8	0001001	
9	0001010	
10	0001011	
11	0001100	
12	0001101	
13	0001110	
14	0001111	
15	000010000	4

阶数	码字结构	CodeNum取值范围
$k = 0$	1	0
	0 1 $x_0$	1~2
	0 0 1 $x_1 x_0$	3~6
	0 0 0 1 $x_2 x_1 x_0$	7~14
	.....	.....
$k = 1$	1 $x_0$	0~1
	0 1 $x_1 x_0$	2~5
	0 0 1 $x_2 x_1 x_0$	6~13
	0 0 0 1 $x_3 x_2 x_1 x_0$	14~29
	.....	.....
$k = 2$	1 $x_1 x_0$	0~3
	0 1 $x_2 x_1 x_0$	4~11
	0 0 1 $x_3 x_2 x_1 x_0$	12~27
	0 0 0 1 $x_4 x_3 x_2 x_1 x_0$	28~59
	.....	.....
$k = 3$	1 $x_2 x_1 x_0$	0~7
	0 1 $x_3 x_2 x_1 x_0$	8~23
	0 0 1 $x_4 x_3 x_2 x_1 x_0$	24~55
	0 0 0 1 $x_5 x_4 x_3 x_2 x_1 x_0$	56~119
	.....	.....

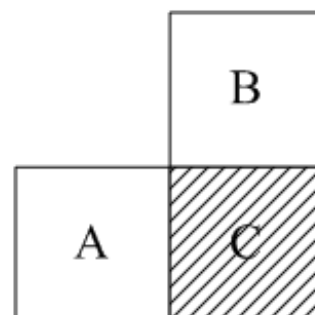
## 11. CAVLC ( Context-Based Adaptive Variable Length Code)

- 当前块的系数分布和其邻块的系数分布情况相关
  - $N_X$ 为块X的非零系数个数，当前块C的第一个系数的编码码表由 $N_C$ 决定， $N_C = (N_A + N_B) / 2$
- 当前待编码系数和前面编码系数有相关性
  - 当前块C的其它系数的编码码表由前一个系数的幅值决定 $\text{coef}_{N-1} \Rightarrow \text{GolombTab}_x$ ，用 $\text{GolombTab}_x$ 编码 $\text{coef}_N$

$$N_C = \begin{cases} 0, & \text{GolombTab0} \\ 1, & \text{GolombTab1} \\ \vdots & \vdots \end{cases}$$

## 12. 算术编码

- 信息量 $\Rightarrow$ 符号编码比特数
- Huffman编码为每个符号分配一个码字，这说明Huffman编码的压缩上限是1比特/符号
- 算术编码若干个符号可编码成1bit
- 算术编码是把信源表示为实数轴上[0,1]区间，信源中每个符号都用来缩短这个区间
  - 输出[0,1]区间的一个实数表示一串编码符号
  - 比Huffman编码更有效



- 编码思想

- 编码器用熵编码算法编码一串符号产生一个[0,1]区间的实数，将实数的一个二进制表示传给解码器
- 解码器用熵解码算法解码得到一串符号

$$\log_2 \frac{1}{2} = 1 \text{ bit} \quad \log_2 \frac{1}{4} = 2 \text{ bit} \quad \log_2 \frac{1}{8} = 3 \text{ bit}$$

- 小数的二进制表示

$$0.75_{10} = 0.5 + 0.25 = 2^{-1} + 2^{-2} = 0.11_2$$

$$0.384765625_{10} = 2^{-2} + 2^{-3} + 2^{-7} + 2^{-9} = 0.011000101_2$$

- 信源符号概率分布

Symbol	Probability	Huffman Code
X1	0.05	10101
X2	0.2	01
X3	0.1	100
X4	0.05	10100
X5	0.3	11
X6	0.2	00
X7	0.1	1011

- 字符串：X2 X2 X3 X3 X6 X5 X7
- Huffman编码，01 01 100 100 00 11 1011，18bit

- 字符串: X2 X2 X3 X3 X6 X5 X7

- 算术编码过程

1) 确定区间:

$range = high - low$

$new\_high = low + range \times subinterval\_high$

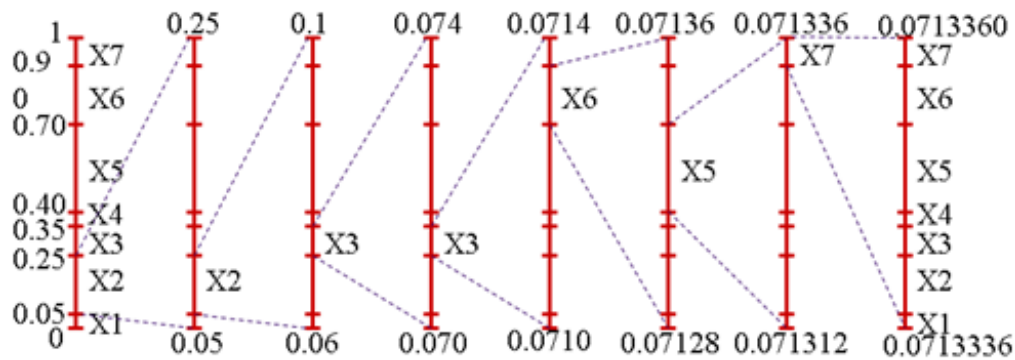
$new\_low = low + range \times subinterval\_low$

编码结束后区间:  $[0.0713336, 0.0713360]$

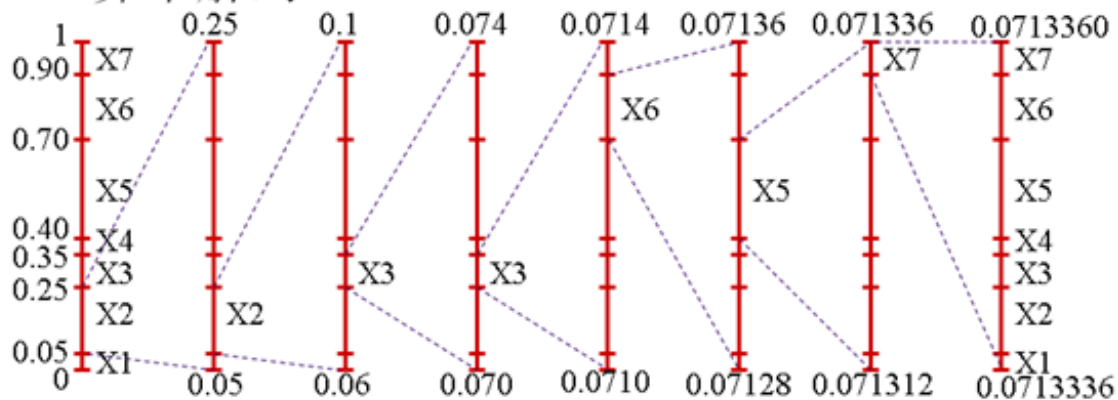
2) 发送最终区间中的任意一值: 0.07133483886719

$$2^{-4} + 2^{-7} + 2^{-10} + 2^{-15} + 2^{-16} = 0.0001001001000011_2$$

Symbol	Probability	Interval
X1	0.05	$[0, 0.05)$
X2	0.2	$[0.05, 0.25)$
X3	0.1	$[0.25, 0.35)$
X4	0.05	$[0.35, 0.4)$
X5	0.3	$[0.4, 0.7)$
X6	0.2	$[0.7, 0.9)$
X7	0.1	$[0.9, 1)$



- 算术解码



$low = 0; high = 1; range = 0$

$$0.05 \leq \frac{0.071334... - 0}{1} \leq 0.25 \Rightarrow X_2$$

$$high = 0 + 1 \times 0.25 = 0.25$$

$$low = 0 + 1 \times 0.05 = 0.05$$

$$range = high - low = 0.2$$

$$0.25 \leq \frac{0.071334... - 0.06}{0.04} = 0.2834 \leq 0.35 \Rightarrow X_3...$$

$$0.05 \leq \frac{0.071334... - 0.05}{0.20} = 0.1067 \leq 0.25 \Rightarrow X_2$$

$$high = 0.05 + 0.2 \times 0.25 = 0.1$$

$$low = 0.05 + 0.2 \times 0.05 = 0.06$$

$$range = high - low = 0.04$$

- 码字的二进制表示精度
  - 用8位精度实现概率区间划分
  - 得到的子区间也应为8位精度
  - 最后码字也是一个8位精度

符号	概率（使用分数表示）	减到8位精度的间隔（用分数表示）	减到8位精度的间隔（用二进制表示）	二进制范围
A	1/3	$[0, 85/256)$	$[0.00000000, 0.01010101)$	00000000 - 01010100
B	1/3	$[85/256, 171/256)$	$[0.01010101, 0.10101011)$	01010101 - 10101010
C	1/3	$[171/256, 1)$	$[0.10101011, 1.00000000)$	10101011 - 11111111

- 算术编码更接近熵
- 有限精度算术编码是次优（Near-optimal）编码，发送整数比特给解码端
- 算术编码到最后一个字符编码结束才输出码字
- 编码复杂度也比较高

### 13. 二值算术编码

- 算术编码计算复杂度高
  - 需要一些列乘法和判断操作

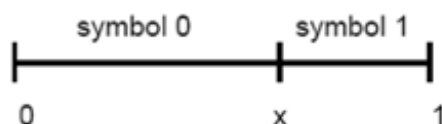
$$0.05 \leq \frac{0.071334... - 0.05}{0.20} = 0.1067 \leq 0.25 \Rightarrow X_2$$

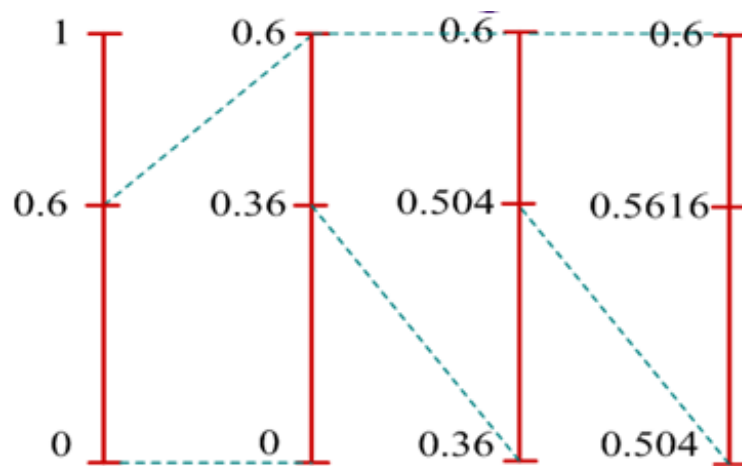
$$high = 0.05 + 0.2 \times 0.25 = 0.1$$

$$low = 0.05 + 0.2 \times 0.05 = 0.06$$

$$range = high - low = 0.04$$

- 如果只用两个符号0和1构成信源，复杂度将大大减小
  - 只有两个间隔 $[0,x)$ ， $[x,1)$ 。





- $p(0)=0.6$ , 字符串: 0110
- 0:  $[0,0.6)$ , 1:  $[0.6,1)$ 
  - 1) low=0, high=0.6
  - 2) low=0.36, high=0.6
  - 3) low=0.504, high=0.6
  - 4) low=0.504, high=0.5616
- 只需要更新low和high

## ● 二值算术解码

只需要一个条件检查

```
if (value < low+range x subinterval_low)
{
    n=1;
}
else
{
    n=0;
}
```

## ● 一般算术解码

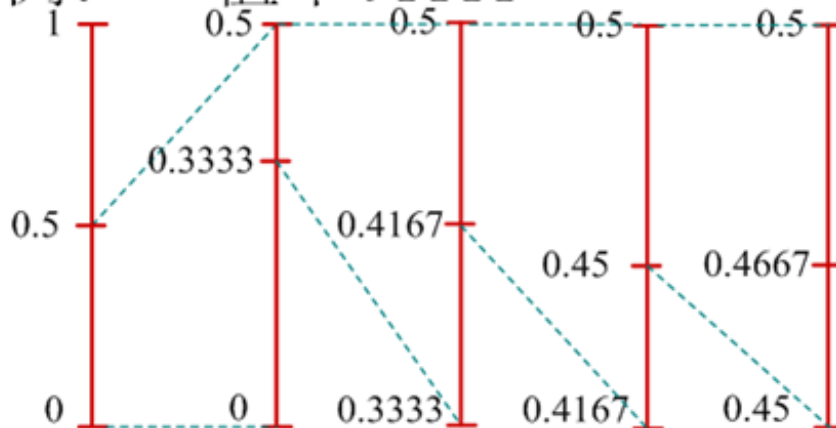
循环检查

```
while (value < low+range x subinterval_low)
{
    n++;
}
```



- 由于信源0和1出现的概率是在不断变化的，因此0和1的概率区间也应该不断改变
- 自适应二值算术编码每编码一个0或1都重新统计0和1的概率并重新划分[0,1]区间
- 编解码端的概率统计模型一致，能够得到同样的[0,1]区间划分

## ● 例：二值串01111



1) 初始化0和1数目计数器

$C(0)=1, C(1)=1 \Rightarrow p(0)=1/2, p(1)=1/2$

2) 编码0,  $C(0)=2, C(1)=1 \Rightarrow p(0)=2/3, p(1)=1/3$

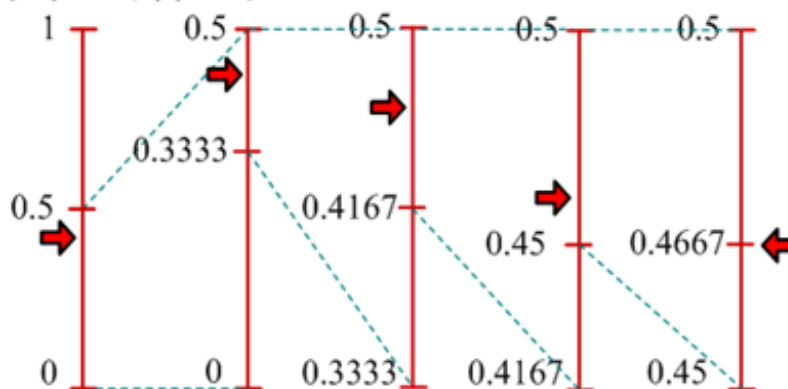
3) 编码01,  $C(0)=2, C(1)=2 \Rightarrow p(0)=1/2, p(1)=1/2$

4) 编码011,  $C(0)=2, C(1)=3 \Rightarrow p(0)=2/5, p(1)=3/5$

5) 编码0111,  $C(0)=2, C(1)=4 \Rightarrow p(0)=1/3, p(1)=2/3$

6) 编码01111, 计算得到0.4667并传给解码端

## ● 例：解码0.4667



1) 初始化0和1数目计数器

$C(0)=1, C(1)=1 \Rightarrow p(0)=1/2, p(1)=1/2$

2) 解码0,  $C(0)=2, C(1)=1 \Rightarrow p(0)=2/3, p(1)=1/3$

3) 解码01,  $C(0)=2, C(1)=2 \Rightarrow p(0)=1/2, p(1)=1/2$

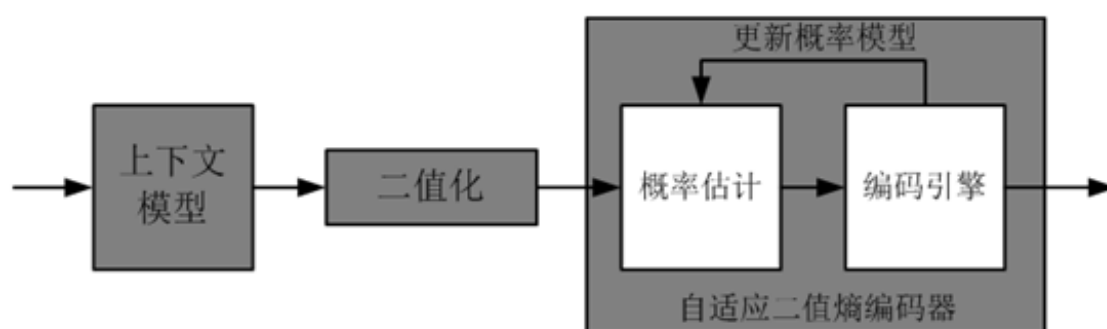
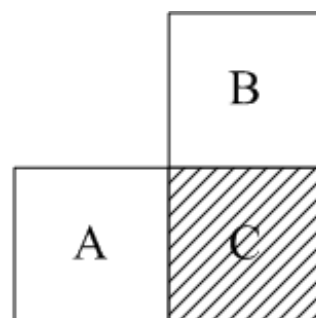
4) 解码011,  $C(0)=2, C(1)=3 \Rightarrow p(0)=2/5, p(1)=3/5$

5) 解码0111,  $C(0)=2, C(1)=4 \Rightarrow p(0)=1/3, p(1)=2/3$

6) 解码得到01111

## 14. CABAC (Context-Based Adaptive Binary Arithmetic Coding)

- 当前块的语法元素概率分布和其邻块的语法元素概率分布情况相关
  - 当前块C的邻块A和B的语法元素 $S_A$ 与 $S_B$ 可以为编码C块的语法元素 $S_C$ 选择概率模型
- 二值化
  - 将语法元素值转换成二进制值串
- 概率模型更新
  - 根据已经编码的比特，重新估计二进制值串的概率并更新概率模型，用新的概率模型编码下一个比特



## 15. Run Length 编码

- 利用信源字符的重复性来编码的技术
- 对有很长，很多重复字符的信源编码非常有效
- 重复字符称为run，重复的字符个数称为run length
- Run-length编码能够和其它熵编码一起来压缩数据

信源输出字符串

5 5 5 5 8 8 8 2 2 2 2 2

Run-Length编码:

(run-length, level)

4, 5, 3, 8, 5, 2

↓ ↓ ↓ ↓ ↓ ↓ 熵编码

01 001 1011 10100 001 1001







Run Level编码是Run Length编码的扩展

信源输出字符串:

14 0 0 5 0 -3 0 0 0 0 0 1  $\overbrace{0 \dots 0}^{14 \text{ zeros}}$  -1  $\overbrace{0 \dots 0}^{37 \text{ zeros}}$

Run-Level编码: (run-length, level)

(0,14), (2,5), (1,-3), (5,1), (14,-1), EOB

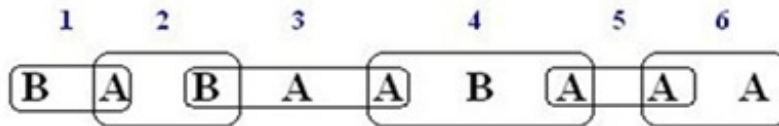
      熵编码  
10101 01 001 1011 10100 11

## 16. 字典编码

- 字典编码: 根据信源符号(消息)的组合特点, 建立包含各种符号组合的字典, 编码这些符号组合的索引
  - LZ78=>Winzip
  - LZW=> GIF
- 适合一般意义上的数据压缩, 去除数据的统计冗余

## 17. LZW

- 将信源输出的字符串中, 每个第一次出现的字符或者字符串用索引来表示, 并将字符或字符串对应的索引编码到码流中
- 解码端根据从码流中解码的字符, 在线的建立和编码器完全一样的字典, 并恢复出信源输出的字符串
- 适用于字符串中有大量的子字符串多次重复出现, 重复次数越多, 压缩效果越好
- 单个符号被分配为0-255之间的值
- 初始码表, 使其包含值为0-255的256个符号, 值大于255的符号为空
- 编码器将根据编码的符号情况确定字符组合为从 256 到 4095 之间的值
- 编码时, 编码器识别新的字符组合, 并将他们增加到码表中
- 编码器用码表中的符号组合所对应的值编码

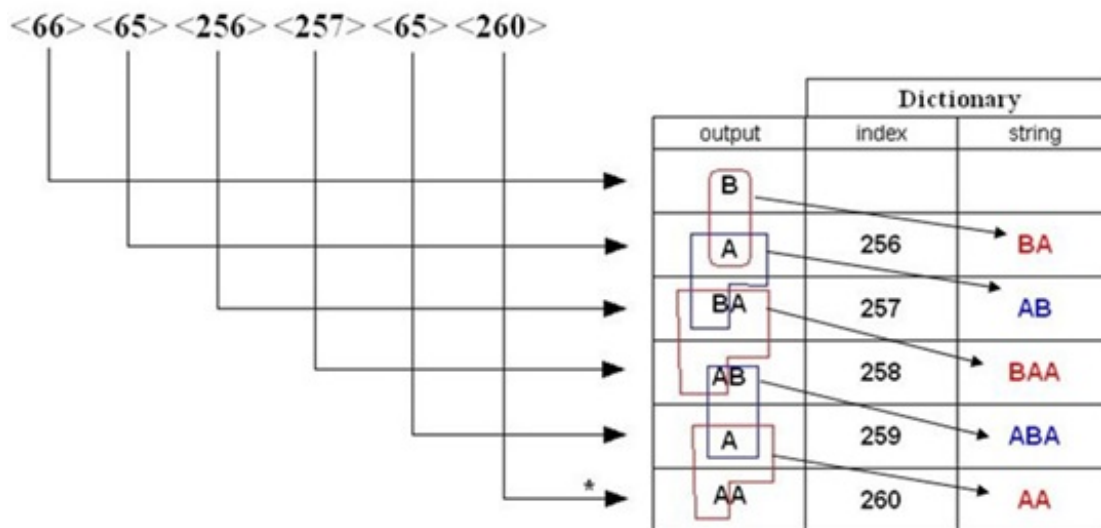


output	Dictionary	
	Code Word	String
66	256	BA
65	257	AB
256	258	BAA
257	259	ABA
65	260	AA
260		

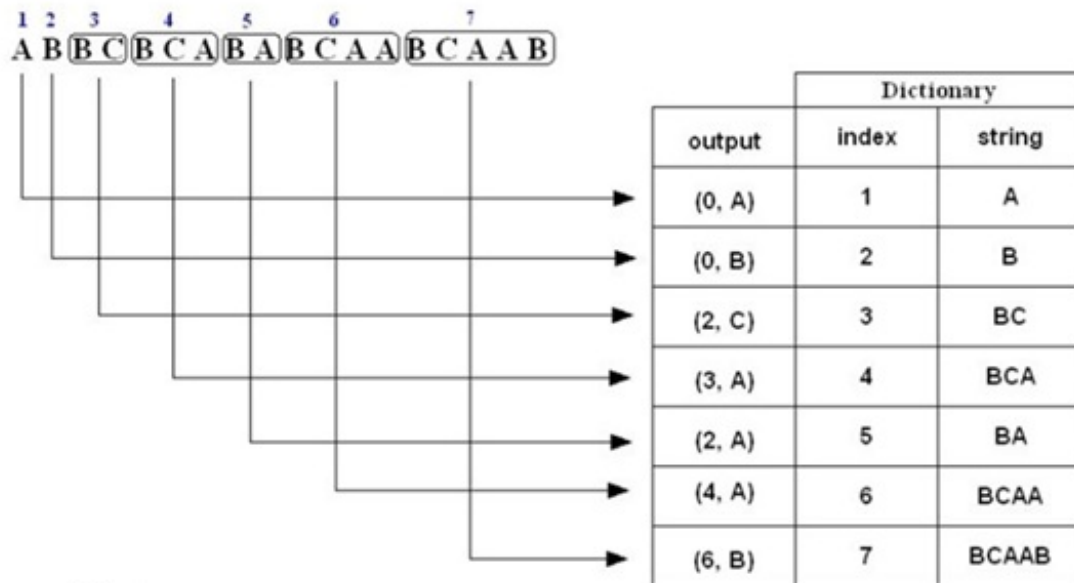
编码结果: <66><65><256><257><65><260>

- 解压时LZW解码器能够产生和编码器完全一样的码表
- 和编码器一样先初始化所有的单字符，将0-255之间的值分配给它们
- 除了解码第一个字符外，解码其它字符时都要更新码表
- 通过读码字并根据码表中的值将它们解码为对应的字符或字符组合

输入: <66> <65> <256> <257> <65> <260>

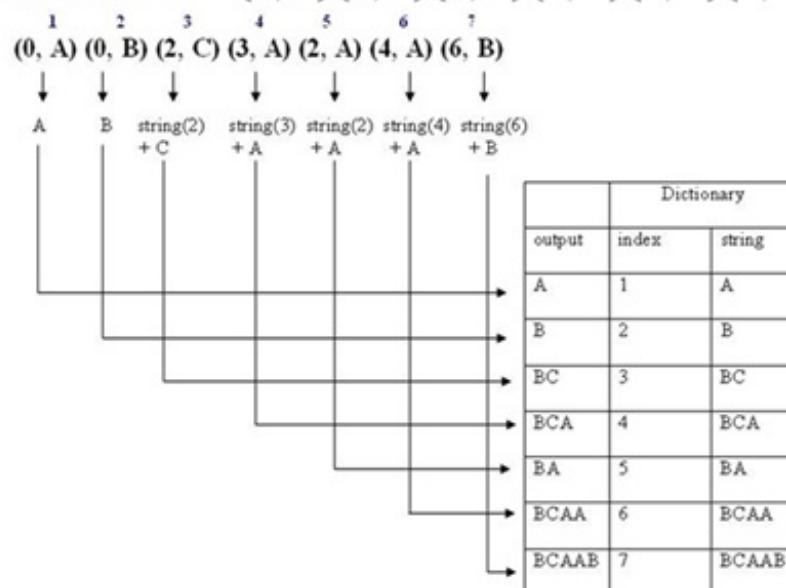


- 用LZ78算法编码字符串： **ABBCBCABABCAABCAAB**



- 输出： **(0,A)(0,B)(2,C)(3,A)(2,A)(4,A)(6,B)**

- 用LZ78算法解码： **(0,A)(0,B)(2,C)(3,A)(2,A)(4,A)(6,B)**



- 输出： **ABBCBCABABCAABCAAB**

参考资料：

- LZW : <http://www.cs.usyd.edu.au/~loki/cs2csys/gif-info/lzw.html>
- LZ78 : <http://www.cs.usyd.edu.au/~loki/cs2csys/gif-info/lz78.html>